

UNIVERSIDAD DE LA HABANA

Facultad de Física

Estabilidad de átomos en el dominio aniónico ($Z < N$)

Tesis de Diploma

Autor: Gabriel José Gil Pérez

Tutor: Dr.Cs. Augusto de Jesús González García, ICIMAF.

22 de mayo de 2011, La Habana, Cuba

(...) La base de su aritmética es la noción de números indefinidos. (...) Afirman que la operación de contar modifica las cantidades y las convierte de indefinidas en definidas. El hecho de que varios individuos que cuentan una misma cantidad logran un resultado igual, es para los psicólogos un ejemplo de asociación de ideas o de buen ejercicio de la memoria. Ya sabemos que en Tlön el sujeto del conocimiento es uno y eterno.

Tlön, Uqbar, Orbis Tertius, Jorge Luis Borges

If in some cataclysm, all scientific knowledge were to be destroyed, and only one sentence passed on to the next generations of creatures, what statement would contain the most information in the fewest words? I believe it is atomic hypothesis (or atomic fact, or whatever you wish to call it) that all things are made of atoms...

The Feynman Lectures on Physics, Chapter 1: "Atoms in motion", Richard P. Feynman

*A mi padres,
por su eterno sacrificio, su amor y su luz...*

*A Laura,
a quien le debo el corazón central, que no comercia con palabras...*

Agradecimientos

Estas, son siempre unas páginas incómodamente gratas, por oximorónica que resulte la frase. Uno debe hacer un gesto de reciprocidad que no debe parecer insuficiente y debe ser exhaustivo -nombrar a todos los que deben ser nombrados- y excluyente -nombrar sólo a aquellos que deben ser nombrados. Tal es una proeza que no me siento capaz de cumplir con acierto, pero como de remedos está hecha nuestra existencia... aquí está:

A mi mamá, Aurora Pérez, que siempre ha sabido el camino, por no cesar en el intento de indicarlo. A mi papá, Jorge Gil, cuyos consejos y apoyo resultan inapreciables, por enseñarme a ser observador y paciente. A ambos, mi ejemplo, que han forjado para mí el presente y el futuro y me aligeran el trayecto cada día.

A mis abuelos, Hugo Pérez, Aurora Martínez y Raquel Mateos, por su participación indispensable en mi educación, por su cariño y su entereza.

A mi tío Oscar Pérez, al que hubiera querido demostrar mi admiración...

A mi primo Celso Hugo Pérez, por ayudarnos mutuamente y por hacerme mejor persona en el proceso.

A mi tía Olguita y a mi primo Oscarín, por estar siempre pendiente de los progresos de esta tesis.

A Laura Azor, por ser mi consejera en todas las materias, por su inteligencia emocional, su constancia y su determinación, pero, sobre todo, por hacer de mí un hombre feliz y pleno.

A mis suegros, Jorge Azor y Mayrena Hernández, por soportar a un aprendiz de físico en la familia, y por considerarme parte de ella.

A mis amigos del Taller Literario de Ciencia Ficción Espacio Abierto, por tantas alegrías, y por entender que el tiempo es relativo al observador...

A mis amigos de la Lenin, Michel, Alejandro, y Anabel, por su cercanía aún cuando medien leguas de distancia.

Alguien dijo una vez que nadie quiere deberle a sus contemporáneos; yo

estoy completamente en desacuerdo: no puedo hacer menos que expresar mi gratitud infinita a mi grupo de graduación y a los que nos acompañaron en el trayecto. Ante todo a Maikel y Manuel, por tanto estudio, por tantas experiencias juntos; pero también a Ismael, Lídice, Fermín, Lupe, Yanela, Patricia, Rosa, Carlos Iván, un grupo hasta el final de las consecuencias.

A mis profesores de la Facultad de Matemática, Mario Armando Gómez y José Talavera, por su compromiso con la profesión y por intentar inculcárnoslo.

A todos los profesores de la Facultad de Física, en especial a Esperanza Purón, Miguel Ramos, María Sánchez Colina, Manuel Hernández Calviño, Soto, Julio César Drake, Roberto Mulet, José Marín, Melquíades de Dios, y María Teresa Pérez, que me enseñaron más que física y nos hicieron sentirnos parte de la Facultad, pese a la destrucción/reconstrucción del edificio. A los profesores jóvenes, Maurice Oliva, Alejandro Lage y Yuriel Núñez, que completaron nuestra formación y nos indujeron a entrenar la intuición y la creatividad en la actividad científica.

A mi tutor, Augusto González, al que tengo como paradigma no sólo por su enorme talento y experiencia, sino por su voluntad, su perseverancia, y su obstinado ímpetu, cualidades que a mi juicio son inherentes a un científico exitoso. A él le debo la conducción de esta tesis por los derroteros correctos: desde la implementación de las herramientas computacionales hasta los cálculos numéricos específicos y su interpretación; desde la escritura del documento hasta el entrenamiento en exposiciones.

A Alain Delgado, por ayudarme con la programación en FORTRAN y con el sistema operativo Linux, por darme una explicación exhaustiva del método de Interacción de Configuraciones y su implementación particular en puntos cuánticos, y por garantizar parte del hardware necesario para completar los cálculos numéricos costosísimos de la tesis. A Alexander Odriazola, por su disposición a ayudarme con FORTRAN, con Linux, con LaTeX y con Grace, por sugerirme referencias bibliográficas, y por sus valiosos consejos.

A David, por colaborar en la puesta a punto de las máquinas para calcular y por las innumerables consultas sobre Linux.

Al Departamento de Física Teórica, en particular, y al ICIMAF, en general, donde he respirado un ambiente de trabajo y camaradería que trasciende los marcos de la ciencia.

Síntesis

Se estudia el comportamiento de la Energía de Ionización (E_I) de átomos aislados con N electrones como función de la carga nuclear Z , considerada un parámetro arbitrario, en la región $Z < N$. Se analizan átomos con la estructura electrónica de gases nobles ($N = 2, 10, 18$) y de metales alcalinos ($N = 3, 11, 19$) utilizando métodos numéricos (Interacción de Configuraciones con excitaciones dobles) y modelos semi-analíticos.

Índice general

Introducción	1
1. Preliminares	6
1.1. Energía de ionización y estabilidad de átomos	6
1.2. Metales alcalinos y gases nobles	8
1.3. Modelo de una partícula para un átomo de N electrones . . .	10
2. Formalismos teóricos y métodos de la Química Cuántica	13
2.1. Hamiltoniano atómico	13
2.2. Principio variacional	14
2.3. Método de Hartree-Fock en átomos	16
2.4. Teorema de Koopmans. Energía de Ionización y Electroafinidad.	21
2.5. Correlación electrónica	22
2.6. Método de Interacción de Configuraciones en átomos	24
3. Resultados y discusión	27
3.1. Implementación y detalles computacionales	27
3.2. Espectros de energía de átomos en el dominio aniónico	32
3.3. Estabilidad y universalidad de aniones atómicos en fase gaseosa	34
Conclusiones	41
Recomendaciones	43
Apéndices	
A. Elementos de matriz explícitos en el método de CISD	44

<i>ÍNDICE GENERAL</i>	v
B. Elementos de matriz de Coulomb (integrales bielectrónicas) entre estados hidrogenoideos	47
C. Algoritmo de Lanczos para diagonalizar matrices simétricas	50
C.0.1. Algoritmo de Rayleigh-Ritz	50
C.0.2. Algoritmo de Lanczos	53
C.0.3. Estabilidad numérica del algoritmo de Lanczos	57
Bibliografía	58

Introducción

Desde principios del siglo XX, cuando se acumularon, como evidencia indirecta de la hipótesis atómica, el éxito de la Teoría Cinética Molecular, la Tabla Periódica de Mendeléev, el descubrimiento de iones y electrones, y la comprensión del origen de la radiación electromagnética, se comenzaron a estudiar, de manera teórica y experimental, los átomos como constituyentes fundamentales de la materia. Los trabajos de Thomson (1897), Rutherford (1911), Bohr (1913) y muchos otros intentaron describir la estructura interna del átomo y su interacción con la radiación.

No obstante, el impulso más significativo de la física atómica está dado por el surgimiento de la Mecánica Cuántica, cuyas figuras más importantes fueron de Broglie, Heisenberg, Schrödinger, Born, Pauli y Dirac. Con esta teoría, que proveía una física conceptualmente diferente y un arsenal de nuevas herramientas teóricas, se pudieron responder muchas de las interrogantes planteadas sobre los fenómenos atómicos y se concibieron interpretaciones más apropiadas sobre el tema; en particular, se explicó la naturaleza de los enlaces químicos y la no intuitiva estabilidad de aniones atómicos (iones atómicos con carga negativa). Uno de los resultados más satisfactorios de la Mecánica Cuántica es la explicación lógica del sistema periódico de los elementos.

A partir de la década del 30 se desarrollaron poderosos métodos e instrumentos experimentales sobre la base de ideas cuánticas básicas, entre ellos la resonancia magnética de haces moleculares, el máser y el láser. Las nuevas técnicas fueron aplicadas a problemas básicos de la electrodinámica cuántica, para el estudio de propiedades atómicas o nucleares y para el diseño de dispositivos como los relojes atómicos.

Algunos avances subsecuentes de la física atómica están relacionados con el control del movimiento y los estados internos de átomos e iones; el método de espectroscopía de radiofrecuencia con átomos excitados ópticamente

(1953), la técnica de trampa de iones (en la década del 50), el enfriamiento Doppler (1978), y, más recientemente, la condensación de Bose-Einstein en un gas atómico (1995) y la medición del corrimiento al rojo gravitacional por interferometría atómica (2010), se cuentan entre los más prominentes. Otros tópicos actuales de intensa labor investigativa son los estados transientes y la dinámica de colisiones, la teoría relativista de muchos cuerpos, la correlación electrónica, los iones múltiplemente cargados y el estudio de átomos sometidos a intensos campos magnéticos.

Un resumen de la actividad científica del siglo XX enmarcada en la física atómica se puede encontrar en el artículo de Kleppner ([1]).

Dentro del estudio de los átomos, desde hace algún tiempo, existe un interés marcado en la estabilidad de aniones atómicos en trabajos tanto teóricos ([2]-[17]) como experimentales ([13], [18], [19]).

Las investigaciones experimentales sobre el tema se concentran, en su mayoría, en la búsqueda de aniones atómicos en fase gaseosa de un largo tiempo de vida, con $t \sim 1\mu s$ ([19]), aunque también existen trabajos que describen la estructura electrónica de dichos sistemas ([18]).

En el caso de estudios teóricos se suelen emplear modelos semi-analíticos de una partícula ([2], [11]-[13]), métodos *ab initio* ([4], [5]) característicos de la Química Cuántica, la teoría de Lieb ([2], [3], [6]) basada en aplicar el principio variacional a la matriz densidad, descripciones análogas a las transiciones de fase y fenómenos críticos ([7]-[13]) usuales en la Física Estadística, o aparatos matemáticos más rigurosos ([15]-[17]) en el marco de la Mecánica Cuántica no relativista.

Estos trabajos generalmente no estudian la dinámica del problema sino procesos estacionarios, de manera que el criterio de estabilidad no viene dado por el tiempo de vida de las especies en cuestión sino por el hecho de que el estado del electrón más lejano al núcleo deje de ser ligado. Para este caso se tiene que la energía del sistema de $N - 1$ electrones $E(Z, N - 1)$ debe ser menor o igual que la energía del sistema con N electrones $E(Z, N)$, o lo que es lo mismo la energía de ionización del sistema debe ser nula o positiva.

Fenomenológicamente, se puede entender que cuando se añaden electrones al átomo neutro el apantallamiento de carga hace que el núcleo efectivo que “percibe” el último electrón tenga carga nuclear cero o incluso menor, formándose una barrera de Coulomb repulsiva. Cuando esta barrera es suficientemente grande, y la repulsión coulombiana es mayor que otras fuerzas atractivas debidas a los efectos de llenado de capas, el nivel de energía del electrón más lejano se aproxima al *continuum* y este se escapa por efecto

túnel a través de la barrera. En estas condiciones se dice que el átomo se “autoioniza”, i.e. pierde un electrón sin que se le suministre energía al sistema, o sea que la configuración del átomo con N electrones resulta inestable debido a que existe una configuración con menor número de electrones que tiene energía igual o menor.

Existe una carga nuclear crítica $Z^{(c)}$ para la cual ocurre este proceso de autoionización y este valor es tal que se cumple que $E(Z^{(c)}, N) = E(Z^{(c)}, N - 1)$. La comparación de $Z^{(c)}$ con el número de electrones N del sistema puede ser usada en el criterio de estabilidad de aniones múltiplemente cargados, como veremos más adelante.

Algunos artículos ([10], [13]) reportan valores de la carga nuclear crítica $Z^{(c)}$ para átomos con N electrones para $2 < N < 86$, y demuestran la estabilidad de aniones atómicos simples para ciertos valores de N . Además, a pesar de que no exista un resultado de una teoría de primeros principios que lo prohíba, existe consenso en la comunidad científica relacionada con el tema acerca de la no existencia de aniones atómicos doblemente cargados (AAD) estables en fase gaseosa. Cálculos *ab initio* han comprobado muchas veces esta hipótesis ([13]). Es conocido también que los AAD pueden estabilizarse bajo la influencia de campos externos intensos ([2],[3], [11]-[14], [22]), en fase gaseosa, o con la presencia de un medio solvente como el agua ([4]). Para moléculas sí se han obtenido evidencias de aniones doblemente cargados incluso de forma experimental ([20]), y la búsqueda de aniones múltiplemente cargados en moléculas pequeñas continúa siendo de interés en esta rama de la física ([20],[21]).

Este trabajo tiene como motivaciones todos los estudios citados, en especial los trabajos de Kais y/o Serra ([7]-[14]) sobre la analogía entre las transiciones de fase de la Física Estadística y el comportamiento del último electrón en un átomo con carga nuclear cercana a $Z^{(c)}$. Estos autores demostraron que, para átomos con $N = 2$, la energía de ionización (E_I) en función de la carga efectiva del núcleo ($Z_{core} = Z - N + 1$), i.e. la carga del corión compuesto por el núcleo y los electrones internos, alrededor de $Z_{core}^{(c)} = Z^{(c)} - N + 1$, exhibe una discontinuidad en su derivada, mientras que, para átomos con $N = 3$, la aproximación de E_I a cero es suave ([13]). En la teoría de transiciones de fase se diría que la transición de fase en función del parámetro Z_{core} , análogo de la temperatura, en el caso con $N = 2$ es de primer orden mientras que en el de $N = 3$ es de segundo orden o continua ([13]). Una extensión de este resultado podría ser, como se ha propuesto la presente tesis, probar que estas diferencias existen en general entre los áto-

mos con la estructura electrónica de los metales alcalinos (Grupo IA de la Tabla Periódica) y los que tienen capas electrónicas llenas, con la estructura electrónica de gases nobles (Grupo VIIIA de la Tabla Periódica).

Por otro lado, para el dominio catiónico ($Z > N$ ó $Z_{core} > 1$) de iones atómicos se ha demostrado, utilizando la teoría de Thomas-Fermi, la universalidad existente en el comportamiento de la energía de ionización ([23]). Sería interesante, además, demostrar un resultado similar para la dominio aniónico e interpolar entre estas soluciones para obtener una curva universal de energía de ionización de átomos para todo el rango de Z .

En este trabajo nos concentramos en el estudio de la energía de ionización de átomos e iones atómicos con $N = 2, 10, 18$ (con la estructura electrónica de gases nobles) y $N = 3, 11, 19$ (con la estructura electrónica de metales alcalinos), variando Z_{core} en el rango $(-1, 1)$, es decir en el dominio aniónico, con dos objetivos fundamentales:

- Buscar relaciones universales en el comportamiento de la energía de ionización cerca del valor umbral de la carga nuclear $Z^{(c)}$
- Analizar la estabilidad de aniones atómicos en fase gaseosa en función del número de electrones del sistema.

Los cálculos numéricos necesarios se realizaron mediante el método de Interacción de Configuraciones hasta excitaciones dobles (2p2h) utilizando como referencia la función de onda de Hartree-Fock. Los detalles de estos métodos son descritos en el Capítulo 2 de manera exhaustiva, y las particularidades de los cálculos de la energía del estado básico de átomos pueden encontrarse en el epígrafe 3.1.

Para describir la variación de E_I con Z_{core} se propuso un potencial simple (compuesto del pozo finito con profundidad V_0 y radio r_0 y el potencial de Coulomb con carga efectiva Z_{core}) que reproduce la interacción del electrón débilmente ligado con el sistema a corto y a largo alcance. Modelos similares de una partícula se han planteado en otros trabajos para describir el átomo de N electrones ([2],[11]-[13]). En el epígrafe 1.3 se abunda sobre este modelo de una partícula y las soluciones de la Ecuación de Schrödinger para el potencial planteado.

El trabajo presentado como tesis de diploma consta de una introducción, tres capítulos, y las correspondientes conclusiones. El contenido está distribuido de la siguiente forma:

- **Introducción:** Se muestra una reseña histórica de los avances fundamentales de la física atómica y se presenta el tema de estudio: la estabilidad de aniones atómicos en fase gaseosa.
- **Capítulo 1:** Se discute el criterio de estabilidad empleado en función de la carga nuclear crítica, se muestran características generales de los metales alcalinos y los gases nobles, y se propone un método semi-analítico de una partícula que puede describir la energía de ionización de estos sistemas electrónicos.
- **Capítulo 2:** Se describen las características fundamentales de los métodos empleados para el cálculo numérico de la energía del estado básico de átomos con N electrones.
- **Capítulo 3:** Se señalan los detalles computacionales del cálculo de la energía del estado básico de átomos y se muestran los resultados obtenidos para sistemas atómicos con la estructura electrónica de los gases nobles y de los metales alcalinos. Se analiza la estabilidad de aniones atómicos y la universalidad en las curvas de energía de ionización. Se obtiene una expresión analítica de la energía de ionización del electrón más lejano en función de la carga nuclear del corión, empleando el modelo de una partícula propuesto.
- **Conclusiones:** Se resaltan los resultados fundamentales y sus interpretaciones, haciendo énfasis en la estabilidad de los aniones y la universalidad de la energía de ionización en el dominio aniónico para los átomos estudiados.
- **Recomendaciones:** Se indican las posibles mejoras y extensiones que puede sufrir este trabajo en pos de convertirse en un estudio más riguroso y exhaustivo.

Capítulo 1

Preliminares

1.1. Energía de ionización y estabilidad de átomos

Dado que la energía de ionización es una propiedad que se empleará muy frecuentemente a lo largo de este trabajo, es preciso ofrecer una definición rigurosa de ella:

Definición: El potencial de ionización (I) de un átomo es la energía que debe suministrarse al sistema para extraer de este un electrón, o, lo que es lo mismo, la energía necesaria para promover a un electrón desde el nivel de energía del espectro discreto en que se encuentra hasta el continuum. Se define, además, la energía de ionización o de enlace (E_I), como la energía necesaria para que el átomo mantenga ligado al último electrón ($E_I = -I$).

Esta energía se puede calcular para el caso de un átomo de N electrones y carga nuclear Z mediante la expresión $E_I = E(Z, N) - E(Z, N - 1)$, donde $E(Z, N)$ y $E(Z, N - 1)$ son las energías del estado básico del sistema con N y $N - 1$ partículas, respectivamente. Como se afirmó en la introducción de este trabajo, el criterio empleado para la estabilidad de un sistema atómico se refiere a la energía de ionización del mismo, de manera que si el sistema tiene energía de ionización $E_I < 0$ es estable, mientras que si $E_I > 0$ es inestable; la frontera entre estas regiones, $E_I \approx 0$ (umbral de autoionización), será de particular importancia, en capítulos posteriores (Ep. 3.3), para el análisis de universalidad.

La forma natural de entender la aproximación del sistema al umbral de autoionización surge de analizar como se comportaría la energía de ioniza-

ción al agregar electrones al átomo neutro. Es lógico pensar en este caso que existirá un número máximo de electrones que el núcleo atómico pueda mantener ligados y, por tanto, toda configuración con un número mayor de electrones será inestable. Sin embargo, este no será el enfoque considerado en este trabajo, debido a que no es efectivo desde el punto de vista computacional¹. Aquí se tomará como punto de partida el átomo neutro, como en el caso anterior, pero en vez de agregar electrones, se disminuirá de manera discreta (con paso $\Delta Z = 0,1$) la carga nuclear Z , tomada como parámetro arbitrario, hasta que esta sea tal ($Z = Z^{(c)}$) que el núcleo atómico sea incapaz de mantener ligado al último electrón. (Se define la carga nuclear crítica $Z^{(c)}$ como la carga nuclear tal que $E_I(Z^{(c)}, N) = 0$). Aunque calcular la energía de sistemas con carga nuclear fraccionaria no tiene sentido físico, por la cuantización de la carga, este tratamiento resulta útil para analizar estabilidad y universalidad de átomos, y ya ha sido empleado en los trabajos ([13]) y ([15]) con propósitos similares.

De alguna manera resulta intuitivo que, a medida que el campo central del núcleo se hace menos atractivo, por la disminución de la carga nuclear, el sistema se aproxima al umbral de autoionización. O sea debe existir una carga nuclear crítica $Z^{(c)}$ para la cual el sistema transita del estado con N partículas al estado con $N - 1$ partículas, tras el proceso de ionización. Ahora bien, una demostración estricta de la existencia de una carga nuclear crítica para un átomo de N electrones es un poco más elaborada y no será presentada en este trabajo, aunque puede encontrarse en el artículo de Lieb ([6]).

La comparación de la carga nuclear con el número de electrones del sistema analizado ofrece un criterio preciso sobre la estabilidad de un sistema. Para un átomo con N electrones y carga $Q = Z - N$:

- si $Z^{(c)} \geq N - 1$ no existe un ion negativo con carga $Q = -1$,
- si $Z^{(c)} < N - 1$ existe un ion negativo con carga $Q = -1$, y,
- si $Z^{(c)} < N - 2$ existe un ion negativo con carga $Q = -2$.

¹El valor del número de electrones N aparece, en todas las expresiones de los métodos de Química Cuántica (véase Capítulo 2), como un límite superior de las sumatorias (e.g. $\sum_{i,j:i < j}^N \frac{1}{|r_i - r_j|}$), de manera que, a los efectos del cálculo numérico, carece de sentido extender el parámetro N a valores no enteros. Por el contrario, para el parámetro Z no existe esta dificultad (e.g. $-Z \sum_{i=1}^N \frac{1}{r_i}$), y, en teoría, se podría calcular la energía de ionización de un sistema con carga nuclear fraccionaria.

Nótese que $Z^{(c)} < N$ debido a que el átomo neutro y los cationes atómicos ($Z \geq N$) son siempre estables (al menos para los valores de Z que permitan la estabilidad del núcleo atómico) su energía de ionización es estrictamente positiva por tanto es necesario suministrarle energía al sistema para que sea ionizado.

Para analizar el comportamiento de la energía de ionización, se requiere, como se apuntó anteriormente, la energía del estado básico de los sistemas con N y $N - 1$ electrones. El cálculo de la energía y la función de onda del estado básico, y de los estados excitados, es el objetivo de los métodos de la Química Cuántica, algunos de los cuales se explicarán más adelante, en el Capítulo 2. En este estudio se calcularon numéricamente estas magnitudes ($E(Z, N)$, $E(Z, N - 1)$) mediante el método de Interacción de Configuraciones hasta excitaciones dobles, al cual se dedica un epígrafe del capítulo siguiente (Ep. 2.6).

1.2. Metales alcalinos y gases nobles

En un gráfico de E_I con el número atómico Z (con $Z = N$) los valores más elevados resultan para los elementos de capas electrónicas llenas o gases nobles ($Z = 2, 10, 18, 36, 54, 86$), debido a la simetría esférica de su estructura electrónica, mientras que, para los elementos que se encuentran inmediatamente después, denominados metales alcalinos ($Z = 3, 11, 19, 37, 55, 87$), la ligadura del último electrón es pequeña y su energía de ionización muy baja. En la energía de excitación se aprecia un efecto similar, al cerrarse una capa, el próximo nivel de energía disponible está relativamente distante, y ello hace que se requiera una energía mucho menor para excitar el último electrón (i.e. promoverlo a un nivel energético superior del espectro discreto) en un átomo alcalino que en un átomo de gas inerte. Ambas propiedades son las responsables del carácter químico distintivo de los elementos del Grupo IA y VIIIA.

Los gases nobles muestran una tendencia a formar compuestos comparativamente baja (de ahí gases “inertes”). Sin embargo, los elementos que tienen un electrón más o un electrón menos que los gases nobles son químicamente activos, y tienen propiedades contrastantes. Aquellos que siguen (en la Tabla Periódica) a los gases nobles, alcalinos y alcalinos térreos, como el litio, el berilio, el potasio, el calcio y otros, son metálicos y fuertemente electropositivos: tienden *fácilmente* a formar iones positivos (baja energía de ionización).

Los elementos que se encuentran antes de los gases nobles, especialmente los halógenos, son eléctricamente no conductores, algunos incluso son gaseosos, y fuertemente electronegativos: tienden a formar iones negativos aislados o en combinación con otros átomos. Elementos de estos dos tipos suelen combinarse entre sí para formar compuestos estables; uno de los ejemplos más comunes de estos compuestos es el cloruro de sodio ($NaCl$).

Si se asume que la actividad química (i.e. la capacidad de formar moléculas) está de alguna manera condicionada a la magnitud de los campos externos eléctrico y magnético creados por el átomo, entonces, en el caso de los gases nobles, estos campos deberían ser considerablemente pequeños o nulos.

Las propiedades de los elementos alcalinos pueden ser explicadas si se supone que el arreglo de los electrones externos en un átomo de gas noble es particularmente estable, o sea, una configuración de energía especialmente baja. En muchas ocasiones, para los átomos alcalinos, la pérdida de un electrón es favorable debido a que el sistema llega a una configuración electrónica similar a la de los gases nobles.

El estudio exhaustivo del sistema periódico de los elementos y sus características principales es abordado en los libros de texto de física atómica [24] y [25], que se recomiendan al lector.

La presente tesis, como ya se ha dicho, aborda al estudio de la estabilidad de aniones atómicos en fase gaseosa (i.e. aislados), y, para ello, nos circunscribiremos al análisis de dos grupos de átomos que tienen la estructura electrónica de los elementos del Grupo IA y del Grupo VIIIA de la Tabla Periódica, o sea de los metales alcalinos y de los gases nobles, respectivamente. Ahora bien, debido a que la carga nuclear Z se variará entre $Z = N - 2$ y $Z = N$ para construir las curvas de energía de ionización, la identificación de estos grupos de átomos ($N = 2, 10, 18, 36, 54, 86$ y $N = 3, 11, 19, 37, 55, 87$) con los Grupos correspondientes de la Tabla Periódica ($Z = 2, 10, 18, 36, 54, 86$ y $Z = 3, 11, 19, 37, 55, 87$, con $Z = N$) no es totalmente rigurosa. Expliquemos este detalle con un ejemplo; el caso de $N = 18$ tiene un anión con carga $Q = -1$ estable ([13]) en fase gaseosa, de manera que tendríamos un átomo con $N = 18$ y $Z = 17$ (Cl^-). En este caso, el arreglo de electrones es similar al del Argón (Ar), pero un poco más expandido debido a que la carga nuclear del Ar es superior a la del Cl ($Z_{Cl} + 1 = Z_{Ar}$). El Cl^- tiene una estructura electrónica muy similar a la del Ar , aunque no idéntica.

Fueron escogidos tres átomos (véase Fig. 1.1), de cada grupo señalado, para realizar los cálculos numéricos de energía de ionización: $N = 2, 10, 18$, del primer grupo, y $N = 3, 11, 19$, del segundo. Las comparaciones repor-

tadas en la discusión (Ep. 3.3) muestran que la separación en grupos no es arbitraria.

1 H																	2 He																												
3 Li	4 Be											5 B	6 C	7 N	8 O	9 F	10 Ne																												
11 Na	12 Mg											13 Al	14 Si	15 P	16 S	17 Cl	18 Ar																												
19 K	20 Ca	21 Sc	22 Ti	23 V	24 Cr	25 Mn	26 Fe	27 Co	28 Ni	29 Cu	30 Zn	31 Ga	32 Ge	33 As	34 Se	35 Br	36 Kr																												
37 Rb	38 Sr	39 Y	40 Zr	41 Nb	42 Mo	43 Tc	44 Ru	45 Rh	46 Pd	47 Ag	48 Cd	49 In	50 Sn	51 Sb	52 Te	53 I	54 Xe																												
55 Cs	56 Ba	57 La	72 Hf	73 Ta	74 W	75 Re	76 Os	77 Ir	78 Pt	79 Au	80 Hg	81 Tl	82 Pb	83 Bi	84 Po	85 At	86 Rn																												
87 Fr	88 Ra	89 Ac	104 Unq	105 Unp	106 Unh	107 Uns	108 Uno	109 Une	110 Uun																																				
<table border="1"> <tbody> <tr> <td>58 Ce</td> <td>59 Pr</td> <td>60 Nd</td> <td>61 Pm</td> <td>62 Sm</td> <td>63 Eu</td> <td>64 Gd</td> <td>65 Tb</td> <td>66 Dy</td> <td>67 Ho</td> <td>68 Er</td> <td>69 Tm</td> <td>70 Yb</td> <td>71 Lu</td> </tr> <tr> <td>90 Th</td> <td>91 Pa</td> <td>92 U</td> <td>93 Np</td> <td>94 Pu</td> <td>95 Am</td> <td>96 Cm</td> <td>97 Bk</td> <td>98 Cf</td> <td>99 Es</td> <td>100 Fm</td> <td>101 Md</td> <td>102 No</td> <td>103 Lr</td> </tr> </tbody> </table>																		58 Ce	59 Pr	60 Nd	61 Pm	62 Sm	63 Eu	64 Gd	65 Tb	66 Dy	67 Ho	68 Er	69 Tm	70 Yb	71 Lu	90 Th	91 Pa	92 U	93 Np	94 Pu	95 Am	96 Cm	97 Bk	98 Cf	99 Es	100 Fm	101 Md	102 No	103 Lr
58 Ce	59 Pr	60 Nd	61 Pm	62 Sm	63 Eu	64 Gd	65 Tb	66 Dy	67 Ho	68 Er	69 Tm	70 Yb	71 Lu																																
90 Th	91 Pa	92 U	93 Np	94 Pu	95 Am	96 Cm	97 Bk	98 Cf	99 Es	100 Fm	101 Md	102 No	103 Lr																																

Figura 1.1: Tabla Periódica de Mendeléev donde se han resaltado los Grupos IA y VIIIA, de estructura similar a los átomos estudiados. Se han enmarcado en cuadros rojos los elementos neutros con la misma cantidad de electrones que los átomos para los que fue calculada la energía de ionización.

1.3. Modelo de una partícula para un átomo de N electrones

Para estudiar el estado débilmente ligado del último electrón en un átomo de N electrones se puede introducir un modelo semi-analítico ([2], [11]-[13]) que describa las interacciones de ese electrón con el corión (i.e. núcleo atómico y electrones internos).

Es conocido que a larga distancia el electrón débilmente ligado sólo siente la atracción de un núcleo efectivo con carga $Z_{core} = Z - N + 1$, o sea está sujeto a un potencial del tipo $-Z_{core}/r$. Sin embargo, a corta distancia pueden

existir efectos de llenado de capas que pueden ser modelados por un pozo de potencial cuadrado finito con profundidad $-V_0$ y ancho r_0 .

De manera que el potencial que se propone para el problema de una partícula puede escribirse de la siguiente manera:

$$V(r) = -\Theta(r, r_0)V_0 - \Theta(r_0, r)\frac{Z_{core}}{r} \quad (1.1)$$

donde $\Theta(r, r')$ es la función de Heaviside que es nula para $r > r'$ e igual a 1 para $r < r'$. En la Fig. 1.2 aparece una representación esquemática de este potencial.

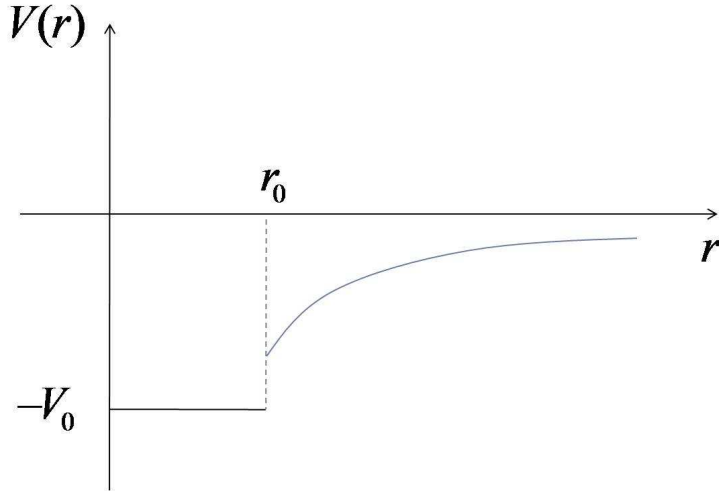


Figura 1.2: Esquema del modelo de potencial de una partícula $V(r)$ para $Z_{core} > 0$. Se muestra un pozo cuadrado para $r \leq r_0$ y una cola de Coulomb para $r > r_0$.

Se debe resolver entonces, para este potencial, la ecuación:

$$\left\{-\frac{1}{2}\nabla^2 - \Theta(r, r_0)V_0 - \Theta(r_0, r)\frac{Z_{core}}{r}\right\}\varphi(\vec{r}) = \varepsilon\varphi(\vec{r}) \quad (1.2)$$

Planteando la separación de variables según la expresión:

$$\varphi(\vec{r}) = R(r)Y(\theta, \phi) \quad (1.3)$$

donde $Y(\theta, \phi)$ son los armónicos esféricos, se obtiene la siguiente ecuación para la función de onda radial $R(r)$:

$$\left\{ \frac{1}{2} \frac{\partial^2}{\partial r^2} + \frac{1}{r} \frac{\partial}{\partial r} + \Theta(r, r_0) V_0 + \Theta(r_0, r) \frac{Z_{core}}{r} - \frac{l(l+1)}{r^2} + \varepsilon \right\} R(r) = 0 \quad (1.4)$$

La función de onda que es solución de esta ecuación diferencial resulta:

$$R(r) = \begin{cases} A \frac{J_{l+1/2}(\alpha' r)}{\sqrt{\alpha' r}} & r < r_0 \\ B \frac{W_{\beta, l+1/2}(\alpha r)}{r} & r > r_0 \end{cases} \quad (1.5)$$

donde:

$$\begin{cases} \beta = \frac{Z_{core}}{\sqrt{2|\varepsilon|}} \\ \alpha = \sqrt{8|\varepsilon|} \\ \alpha' = \sqrt{2|\varepsilon|} \end{cases} \quad (1.6)$$

$J_{l+1/2}(x)$ es la función de Bessel de orden fraccionario y $W_{\kappa, \mu}(x)$ es la solución de la Ecuación de Whittaker que es regular para $x \rightarrow \infty$. Para más información sobre las propiedades de estas funciones consúltese [26].

Para hallar los niveles de energía se utiliza la continuidad de la función de onda y su derivada en la frontera r_0 . De manera que se obtiene la siguiente ecuación trascendente:

$$\alpha'(\varepsilon) \frac{J'_{l+1/2}(\alpha'(\varepsilon)r_0)}{J_{l+1/2}(\alpha'(\varepsilon)r_0)} = \alpha(\varepsilon) \frac{W'_{\beta, l+1/2}(\alpha(\varepsilon)r_0)}{W_{\beta, l+1/2}(\alpha(\varepsilon)r_0)} \quad (1.7)$$

cuya solución son los niveles de energía ε .

Este modelo se empleará para deducir el comportamiento cerca del umbral de la energía de ionización E_I de un átomo con N electrones, que sería la energía del estado básico del electrón débilmente ligado ε_0 .

Capítulo 2

Formalismos teóricos y métodos de la Química Cuántica

2.1. Hamiltoniano atómico

Consideremos un átomo o ion con carga nuclear Ze y N electrones. Un tratamiento detallado de este sistema debe tener en cuenta ([27]): 1) la energía cinética de los electrones y su energía potencial electrostática (Coulomb) debida a la atracción del núcleo (asumiendo que es puntual y de masa infinita), 2) la repulsión electrostática (Coulomb) entre electrones, 3) la interacción magnética de los espines electrónicos con el orbital (interacción espín-órbita), y 4) otros efectos relativistas pequeños como la interacción espín-espín, correcciones radiativas y nucleares (debido a la masa y dimensiones finitas del núcleo, momento de dipolo magnético nuclear, etc.).

Usualmente la descripción detallada de un átomo de muchos electrones es sumamente difícil y hay que recurrir a descripciones aproximadas. En este trabajo despreciamos las interacciones consideradas en 3) y 4). De manera que resulta el siguiente Hamiltoniano atómico (en unidades del Sistema Internacional):

$$\hat{H} = \sum_{i=1}^N \left\{ -\frac{\hbar^2}{2m_e} \nabla_{r_i}^2 - \left(\frac{e^2}{4\pi\epsilon_0} \right) \frac{Z}{r_i} \right\} + \sum_{i < j=1}^N \left(\frac{e^2}{4\pi\epsilon_0} \right) \frac{1}{r_{ij}} \quad (2.1)$$

donde r_i es la coordenada del electrón i con respecto al núcleo, $r_{ij} = |r_i - r_j|$ es la distancia entre el electrón i y el j , y la última suma corre sobre todos los pares de electrones.

Nótese que este Hamiltoniano es independiente de las variables de espín y es simétrico ante permutaciones de las coordenadas espaciales de dos partículas.

Es conveniente en este estudio pasar a unidades atómicas (1 hartree = 27,211 eV, 1 bohr = 0,52918 Å). El Hamiltoniano en estas unidades se escribe como:

$$\hat{H} = \sum_{i,j=1}^N \left\{ -\frac{1}{2} \nabla_{r_i}^2 - \frac{Z}{r_i} \right\} + \sum_{i<j=1}^N \frac{1}{r_{ij}} \quad (2.2)$$

La Ecuación de Schrödinger para la función de onda espacial ψ se escribe:

$$\hat{H}\psi(r_1, \dots, r_N) = E\psi(r_1, \dots, r_N) \quad (2.3)$$

o explícitamente, usando la expresión (2.2) de \hat{H} :

$$\left[\sum_{i=1}^N \left\{ -\frac{1}{2} \nabla_{r_i}^2 - \frac{Z}{r_i} \right\} + \sum_{i<j=1}^N \frac{1}{r_{ij}} \right] \psi(r_1, \dots, r_N) = E\psi(r_1, \dots, r_N) \quad (2.4)$$

Esta es una ecuación diferencial en derivadas parciales de $3N$ dimensiones, donde las variables independientes son las coordenadas espaciales de los electrones (r_1, r_2, \dots, r_N). Esta ecuación no admite separación de variables debido al término $1/r_{ij}$, que da cuenta de la repulsión mutua entre electrones. Para el caso de dos electrones ese término puede tratarse como perturbación, pero en general ($N > 2$) es muy grande y no es aplicable el método perturbativo.

En el Epígrafe 2.3 se abordarán los métodos de Hartree y Hartree-Fock, basados ambos en el principio variacional lineal (Ep. 2.2), que permiten solucionar de manera aproximada este problema.

2.2. Principio variacional

Sea $\langle \Phi | \hat{H} | \Phi \rangle$ el valor medio del Hamiltoniano \hat{H} sobre cierta función de onda Φ . El desarrollo de Φ en términos de las autofunciones de \hat{H} es el siguiente:

$$|\Phi\rangle = \sum_n C_n |\Psi_n\rangle \quad (2.5)$$

Si se exige que Φ sea normalizada, como las funciones de \hat{H} son ortonormales ($\langle \Psi_n | \Psi_m \rangle = \delta_{nm}$), se tiene que:

$$\langle \Phi | \Phi \rangle = \sum_n |C_n|^2 = 1 \quad (2.6)$$

Teniendo en cuenta estas expresiones y usando que $\hat{H}\Psi_n = E_n\Psi_n$ se puede demostrar de manera sencilla que la magnitud $E(\Phi) = \langle \Phi | \hat{H} | \Phi \rangle$ siempre es una cota superior para el menor autovalor de \hat{H} (energía del estado básico).

$$\begin{aligned} \langle \Phi | \hat{H} | \Phi \rangle &= \sum_{m,n} C_m^* C_n \langle \Psi_m | \hat{H} | \Psi_n \rangle \\ &= \sum_{m,n} C_m^* C_n E_n \langle \Psi_m | \Psi_n \rangle \\ &= \sum_{m,n} C_m^* C_n E_n \delta_{mn} \\ &= \sum_n |C_n|^2 E_n \geq E_0 \sum_n |C_n|^2 \\ &= \sum_n |C_n|^2 E_n \geq E_0 \end{aligned} \quad (2.7)$$

Esta simple relación es el Teorema Variacional, que más explícitamente afirma que cualquier función de onda en el espacio de Hilbert tiene una energía mayor que la energía del estado básico.

Este teorema permite crear una estrategia para hallar una aproximación a la energía y la función de onda del estado básico ([29]). Por ejemplo, es posible proponer una familia de funciones de onda normalizadas Φ_θ dependiente del parámetro θ y calcular el valor esperado de la energía dependiente de θ :

$$E(\theta) = \langle \Phi_\theta | \hat{H} | \Phi_\theta \rangle \quad (2.8)$$

Entonces minimizando (2.8) se obtiene la mejor aproximación a la energía del estado básico, restringida a la familia de funciones Φ_θ .

Otro posible método consiste en desarrollar la función de onda en términos de cierta base de funciones ortonormalizadas en el espacio de Hilbert, de manera similar a (2.5):

$$|\Phi\rangle = \sum_n c_n |\psi_n\rangle \quad (2.9)$$

En este caso las funciones $|\psi_n\rangle$ no son autofunciones de \hat{H} .
Luego se plantea el problema de extremos para el funcional:

$$F(\{c_n\}) = \sum_{m,n} c_m^* c_n \langle \psi_m | \hat{H} | \psi_n \rangle - \varepsilon \left(\sum_n |c_n|^2 - 1 \right) \quad (2.10)$$

donde se ha introducido el multiplicador de Lagrange ε para tener en cuenta la restricción (problema de extremos condicionados) de que la función de onda debe ser normalizada. La solución de este último problema será dada en términos de los coeficientes del desarrollo y el multiplicador de Lagrange. Teniendo explícitamente los coeficientes que minimizan el funcional (2.10), o sea que minimizan la expresión:

$$E(\{c_n\}) = \langle \Phi | \hat{H} | \Phi \rangle = \sum_{m,n} c_m^* c_n \langle \psi_m | \hat{H} | \psi_n \rangle \quad (2.11)$$

dada la restricción $\sum_n |c_n|^2 = 1$ es posible calcular la energía del estado básico simplemente sustituyendo en (2.11).

El método variacional es uno de los más empleados en la Química Cuántica. En particular, el último caso será útil para deducir las ecuaciones de Hartree-Fock e Interacción de Configuraciones.

2.3. Método de Hartree-Fock en átomos

En esta sección propondremos dos métodos para resolver el problema de hallar la función de onda y la energía de átomos aislados planteado en el Epígrafe 2.1. Primeramente trataremos el método de Hartree, de manera breve, luego se describiría el método de Hartree-Fock. Para una revisión más detallada del tema se recomienda consultar [28] y [29].

En la aproximación de Hartree, la más simple, la función de onda se restringe a un producto de N orbitales de un electrón (producto de Hartree):

$$\Phi(r_1, \dots, r_N) = \prod_i^N \phi_i(r_i) \quad (2.12)$$

donde no se toma en cuenta el espín de los electrones ni la antisimetría de la función de onda. Además se impone la condición adicional de que los orbitales de un electrón sean ortonormales.

Si se desarrollan los orbitales en términos de una base de funciones en el espacio de Hilbert, de la manera siguiente:

$$\phi_i(r_i) = \sum_{\alpha} c_{i\alpha} \varphi_{i\alpha}(r_i) \quad (2.13)$$

se puede escribir entonces para la función de onda del sistema:

$$\Phi(r_1, \dots, r_N) = \sum_{\alpha} \prod_i^N c_{i\alpha} \varphi_{i\alpha}(r_i) \quad (2.14)$$

Tomando:

$$\begin{aligned} c_{\alpha} &= \prod_i^N c_{i\alpha} \\ f_{\alpha}(r_i) &= \prod_i^N \varphi_{i\alpha}(r_i) \end{aligned} \quad (2.15)$$

obtenemos la expresión (2.9).

Construyendo el funcional (2.10) y minimizándolo se obtienen los coeficientes del desarrollo $\{c_{\alpha}\}$ que permiten hallar la función de onda y la energía del estado básico (véase Ec. (2.11)).

En el método de Hartree-Fock (HF) sí se considera la antisimetría de la función de onda del sistema de electrones (en general, fermiones). Para ello se escribe la función de onda como un determinante de Slater como sigue:

$$\Phi(x_1, \dots, x_N) = \frac{1}{\sqrt{N!}} \begin{vmatrix} \phi_1(x_1) & \phi_2(x_1) & \dots & \phi_N(x_1) \\ \phi_1(x_2) & \phi_2(x_2) & \dots & \phi_N(x_2) \\ \vdots & \vdots & \ddots & \vdots \\ \phi_1(x_N) & \phi_2(x_N) & \dots & \phi_N(x_N) \end{vmatrix} \quad (2.16)$$

donde la variable x_i identifica a la coordenada espacial del electrón i-ésimo y a su proyección de espín y $\phi_i(x_j)$ es el orbital electrónico i-ésimo evaluado en las coordenadas y proyección de espín del electrón j-ésimo.

Si se desarrolla a los orbitales en términos de una base de funciones en el espacio de Hilbert (2.13), y se redefinen las funciones de la base del sistema

de partículas y los coeficientes, análogamente al caso anterior, se obtiene para la función de onda del sistema una expresión similar a (2.9).

Planteando el funcional $E(\Phi) = \langle \Phi | \hat{H} | \Phi \rangle$ se obtiene la ecuación:

$$E(\Phi) = \sum_i^N \langle \phi_i | \hat{T} | \phi_i \rangle + \frac{1}{2} \sum_{i,j:i \neq j}^N \{ \langle \phi_i \phi_j | \hat{V} | \phi_i \phi_j \rangle - \langle \phi_i \phi_j | \hat{V} | \phi_j \phi_i \rangle \} \quad (2.17)$$

donde:

$$\hat{T}(r_i) = -\frac{1}{2} \nabla_{r_i}^2 - \frac{Z}{r_i} \quad (2.18)$$

$$\hat{V}(r_i, r_j) = \frac{1}{|r_i - r_j|} \quad (2.19)$$

En la expresión (2.17) los términos $\langle \phi_i \phi_j | \hat{V} | \phi_i \phi_j \rangle$ están relacionados con la interacción directa (coulombiana) entre un par de electrones i, j , mientras que los términos $\langle \phi_i \phi_j | \hat{V} | \phi_j \phi_i \rangle$ se deben a la interacción de intercambio debida a la antisimetría de la función de onda.

En el Ep. 2.2 se demostró que $E(\Phi)$ es una cota superior para la energía del estado básico de manera que minimizando el funcional (2.17) bajo la restricción de que los orbitales sean funciones normalizadas ($\langle \phi_i | \phi_i \rangle = 1$) se obtiene la mejor aproximación a la energía y la función de onda del estado básico del sistema de partículas. La ecuación variacional a resolver será:

$$\delta E(\{\phi\}) - \sum_i \varepsilon_i \delta \langle \phi_i | \phi_i \rangle = 0 \quad (2.20)$$

Utilizando la expresión (2.17) se obtiene:

$$\begin{aligned} \hat{T} | \phi_i \rangle + \left\{ \sum_j^N \langle \phi_j | \hat{V} | \phi_j \rangle \right\} | \phi_i \rangle - \sum_i^N \left\{ \langle \phi_i | \hat{V} | \phi_j \rangle \right\} | \phi_i \rangle \\ = \varepsilon_i | \phi_i \rangle \end{aligned} \quad (2.21)$$

Esta ecuación puede transformarse en la siguiente:

$$\{\hat{T} + \sum_i^N [\hat{V}_i^d - \hat{V}_i^{ex}]\}|\phi_i\rangle = \varepsilon_i|\phi_i\rangle \quad (2.22)$$

donde $\hat{V}_i^d = \langle \phi_i | \hat{V} | \phi_i \rangle$ y se define el operador \hat{V}_i^{ex} según la operación $\hat{V}_i^{ex}|f\rangle = \langle \phi_i | \hat{V} | f \rangle |\phi_i\rangle$; o:

$$\{\hat{T} + \mathcal{V}_i^d - \mathcal{V}_i^{ex}\}|\phi_i\rangle = \varepsilon_i|\phi_i\rangle \quad (2.23)$$

donde $\mathcal{V}_i^d = \sum_i^N \hat{V}_i^d$ y $\mathcal{V}_i^{ex} = \sum_i^N \hat{V}_i^{ex}$.

Una característica interesante de las ecuaciones de HF escritas en su forma integro-diferencial (2.23) es que parecen ser ecuaciones de Schrödinger de una partícula con cierto potencial $\hat{V} = \mathcal{V}_i^d - \mathcal{V}_i^{ex}$, o sea que puede interpretarse como el movimiento de un electrón sujeto al campo central coulombiano del núcleo y a un potencial que da cuenta de la interacción aproximada con los restantes $N - 1$ electrones ([27]). Aunque, en rigor, las expresiones (2.23) no son ecuaciones de autovalores como la Ec. de Schrödinger debido a que el potencial depende de los orbitales $\{\phi\}$ a través de los operadores \mathcal{V}_i^d y \mathcal{V}_i^{ex} .

El término \mathcal{V}_i^d representa el potencial promedio debido a la presencia de los restantes $N - 1$ electrones y el término \mathcal{V}_i^{ex} da cuenta de los efectos de intercambio entre el estado $|\phi_i\rangle$ y los restantes $N - 1$ orbitales ocupados por electrones.

A continuación obtendremos una ecuación algebraica análoga a la ecuación integro-diferencial 2.23 más apropiada para la solución del problema mediante un algoritmo computacional.

Sustituyendo en (2.17) el desarrollo de los orbitales $\{\phi\}$, similar a (2.13), y haciendo un poco de algebra se obtiene la ecuación:

$$\begin{aligned} E(\Phi) &= \sum_i^N \sum_{\alpha,\gamma} C_{i\alpha}^* C_{i\gamma} \langle \varphi_\alpha | \hat{T} | \varphi_\beta \rangle \\ &+ \frac{1}{2} \sum_{i,j:i \neq j}^N \sum_{\alpha,\beta,\gamma,\delta} C_{i\alpha}^* C_{j\beta}^* C_{i\gamma} C_{j\delta} \{ \langle \varphi_\alpha \varphi_\beta | \hat{V} | \varphi_\gamma \varphi_\delta \rangle - \langle \varphi_\alpha \varphi_\beta | \hat{V} | \varphi_\delta \varphi_\gamma \rangle \} \end{aligned} \quad (2.24)$$

Minimizando el funcional $E(\Phi) = E(\{C_{i\alpha}\})$ respecto de los coeficientes del desarrollo de los orbitales $C_{i\alpha}$, con la restricción $\sum_{\alpha} |C_{i\alpha}|^2 = 1$ se obtienen las ecuaciones de HF en su forma algebraica:

$$\sum_{\gamma} \{T_{\theta\gamma} + \sum_j \sum_{\beta,\delta} C_{j\beta}^* C_{j\delta} \{ \langle \theta\beta | \hat{V} | \gamma\delta \rangle - \langle \theta\beta | \hat{V} | \delta\gamma \rangle \} \} C_{n\gamma} = \varepsilon_n C_{n\theta} \quad (2.25)$$

donde:

$$\begin{aligned} T_{\theta\gamma} &= \langle \theta | \hat{T} | \gamma \rangle \\ \langle \theta\beta | \hat{V} | \gamma\delta \rangle &= \\ &= \int \int \{ \varphi_{\theta}^*(r_1) \varphi_{\beta}^*(r_2) \frac{1}{|r_1 - r_2|} \varphi_{\gamma}(r_1) \varphi_{\delta}(r_2) d^3r_1 d^3r_2 \} \delta_{S_{z\theta} S_{z\gamma}} \delta_{S_{z\beta} S_{z\delta}} \end{aligned} \quad (2.26)$$

La solución de esta ecuación serían los coeficientes $C_{n\theta}$ y las energías ε_n . Ahora bien, la ecuación (2.25) es no lineal y su solución no puede obtenerse de manera algebraica. Sin embargo, puede resolverse por el método numérico autoconsistente. Reescribamos (2.25) de la siguiente manera:

$$H[\{\mathbf{C}^{(n-1)}\}] \mathbf{C}^{(n)} = \varepsilon \mathbf{C}^{(n)} \quad (2.27)$$

donde los elementos de matriz de $H[\{\mathbf{C}^{(n-1)}\}]$ se escriben como:

$$H_{\theta\gamma}[\{\mathbf{C}^{(n-1)}\}] = T_{\theta\gamma} + \sum_j \sum_{\beta,\delta} (C_{j\beta}^{(n-1)})^* C_{j\delta}^{(n-1)} \{ \langle \theta\beta | \hat{V} | \gamma\delta \rangle - \langle \theta\beta | \hat{V} | \delta\gamma \rangle \} \quad (2.28)$$

Nótese que este problema si se toma una aproximación inicial $\mathbf{C}^{(0)}$ arbitraria puede ser resuelto iterativamente solucionando el problema de autovalores y autovectores $H\mathbf{C} = \varepsilon\mathbf{C}$. En cada iteración se construye la matriz H a partir de los autovectores en la iteración anterior.

Ahora bien, la dimensión de la matriz H y de los vectores \mathbf{C} (formados por la componentes C_{ni} para n fijo, o sea $\mathbf{C} = (C_{n1}, C_{n2}, \dots, C_{nN_{orb}})$) es, en general, mucho mayor que el número de electrones N ; es igual al tamaño de la base de una partícula N_{orb} empleado (i.e. $1 < i < N_{orb}$). Por tanto, los autovectores \mathbf{C} correspondientes a los autovalores ε que se utilizan en cada iteración, una vez ordenados los autovalores de menor a mayor, son los

N primeros; estos estados, que son los de menor energía, son los ocupados por electrones, de manera que la energía del estado básico del sistema sea la mínima posible.

Haciendo un poco de algebra se puede hallar una expresión sencilla para la energía de HF (aproximación a la energía del estado básico según el método de HF):

$$E_{HF} = \min_{\{\Psi\}} \{E(\Psi)\} = \frac{1}{2} \sum_n \{\varepsilon_n + \sum_{\alpha,\beta} C_{n\alpha}^* C_{n\beta} \langle \alpha | \hat{T} | \beta \rangle\} \quad (2.29)$$

Nótese que hemos partido del desarrollo de los orbitales de una partícula en determinada base $\{\varphi\}$, o sea:

$$\phi_i(r) = \sum_i C_{i\alpha} \varphi_\alpha(r) \quad (2.30)$$

La expresión (2.29) será la energía exacta del sistema de partículas en presencia de un campo medio, o sea despreciando la correlación debida a la interacción coulombiana entre electrones, si la base de funciones de una partícula $\{\varphi\}$ es una base completa (límite de HF). Usualmente, para el cómputo, debe truncarse la base de funciones y E_{HF} es sólo una aproximación. A medida que se aumente el tamaño de la base $\{\varphi\}$, esta se aproximará a ser completa y E_{HF} convergerá a la energía en el límite de HF ($E_{HF_{limit}}$).

2.4. Teorema de Koopmans. Energía de Ionización y Electroafinidad.

Bajo la aproximación de los orbitales “congelados”, o sea asumiendo que los primeros $N - 1$ orbitales son idénticos para los sistemas con N y $N - 1$ electrones, se puede obtener una aproximación para la energía de ionización del sistema, i.e. la energía necesaria para eliminar un electrón del orbital k , usando la teoría de HF ([27]). Restando la ecuación (2.17) para el sistema con $N - 1$ partículas de la misma ecuación para el sistema con N partículas, y utilizando la expresión (2.21), se obtiene que $E_I = \Delta^k E_{HF} = E_{HF}(N) - E_{HF}^k(N - 1) = \varepsilon_k$, donde ε_k es la energía del k -ésimo estado monoeléctrico ocupado ([27],[30],[31]). Este resultado se conoce como teorema de Koopmans. De manera similar se puede calcular la electroafinidad, i.e. la energía necesaria para que una molécula neutra forme

un anión, y esta resulta $E_A = E_{HF}^k(N+1) - E_{HF}(N) = \varepsilon_k$, donde ahora el orbital k -ésimo es un orbital desocupado ([30]).

Es pertinente precisar que la identificación de ε_k con la energía de ionización en el primer caso y con la electroafinidad en el segundo, no es rigurosa, debido a que se han ignorado los reajustes de los orbitales monoeléctricos en los sistemas con $N-1$ y $N+1$ partículas ([27]). Los estados de $N \pm 1$ partículas $\Psi^{N \pm 1}(x_1, \dots, x_{N \pm 1})$ (2.16), construidos a partir de los orbitales monoeléctricos optimizados para el sistema de N partículas, no son los óptimos para los sistemas con $N \pm 1$ partículas ([31]). Debe advertirse, además, que, aún siendo $E_{HF}(N)$ y $E_{HF}^k(N \pm 1)$ cotas superiores para la energía del estado básico de los sistemas con N y $N-1$ ($N+1$) electrones, la cantidad ε_k no es una cota superior (inferior) para la energía de ionización (electroafinidad) del sistema con N electrones, debido a que se ha tomado la resta entre dos cotas superiores ([27]).

A pesar de que las energías de ionización calculadas por este método son bastante razonables dentro de la teoría de HF, las electroafinidades no lo son, debido a que los estados desocupados o virtuales son incorrectos y normalmente no son estados ligados ([30]).

2.5. Correlación electrónica

Cuando se asume que el electrón se mueve en presencia del campo central del núcleo y el campo promedio de los demás electrones, es de esperar que haya errores provenientes de despreciar los efectos de la interacción coulombiana instantánea entre electrones, debida al potencial e^2/r_{12} ([34]). A esta interacción coulombiana instantánea se le suele denominar correlación electrónica. Nótese que es independiente de los efectos de intercambio, debidos al Principio de Exclusión de Pauli, por lo tanto ocurre entre cualquier par de electrones ya tengan espines paralelos o antiparalelos. El efecto fundamental de esta correlación es la disminución de la probabilidad de encontrar dos electrones muy cerca y el correspondiente aumento de la probabilidad de encontrarlos suficientemente alejados uno del otro ([32]).

Como se ha señalado en el epígrafe anterior, el método de HF, siendo una teoría de campo medio, no tiene en cuenta la correlación electrónica, y como consecuencia, sólo puede hallar el 99% de la energía total del estado básico ([32]). Sin embargo, suele ser preciso en las predicciones de estructura molecular, no es muy costoso computacionalmente, y puede ser aplicado

a sistemas grandes, e.g. moléculas orgánicas. Desafortunadamente, la parte de la energía que la aproximación de HF ignora tiene importantes efectos químicos, particularmente cuando los enlaces se forman o se rompen ([32]); en casos extremos como el de la molécula de F_2 , el método de HF es incapaz de describir el enlace([34]).

La energía de correlación fue introducida por Löwdin ([32]) en la forma siguiente:

$$E_{corr} = E - E_{HF} \quad (2.31)$$

donde E es la energía exacta no relativista del sistema electrónico, y no puede ser hallada de manera experimental. Esta energía de correlación debe diferenciarse de la definida en el contexto de la Teoría de Funcionales de Densidad (*Density Functional Theory*; DFT) como la diferencia entre la energía exacta no relativista menos la suma de la energía cinética, la energía directa de Coulomb, y la energía de intercambio; en este caso el operador de intercambio es local y por tanto la suma mencionada es diferente a la energía de HF ([30]).

Dado que la función de onda de HF es el mejor determinante de Slater que puede obtenerse (aplicando el Método Variacional, véase Ep. 1.2 y 1.3) cualquier enfoque que añada la correlación tiene que relajar esta aproximación considerando más de un determinante de Slater o una función de onda antisimétrica de otro tipo que describa al sistema de electrones ([30]). En principio, cualquier función antisimétrica puede escribirse como una combinación lineal de infinitos determinantes de Slater ([30]), aunque este no es un método práctico. Una mejor estrategia es incluir un pequeño número de determinantes que sean realmente importantes en la energía ([30]). La manera en que se construyen dichos determinantes se abordará en el siguiente epígrafe.

Es preciso apuntar que el cuadro de electrones individuales, representados por orbitales monoelectrónicos, en un campo medio de los demás electrones (véase Ep. 1.3) no se mantendrá en lo adelante. En general, la función de onda de muchas partículas correlacionadas no puede ser escrita como un producto antisimetrizado de orbitales monoelectrónicos ([30]).

De cualquier modo, dado que de HF resulta la mayor contribución a la energía, la función de onda de HF es un buen punto de partida para cálculos más elaborados.

2.6. Método de Interacción de Configuraciones en átomos

La Interacción de Configuraciones (*Configuration Interaction*, en lo adelante CI) es un método que ha sido aplicado con éxito a estudios cuantitativos en sistemas electrónicos y en particular en átomos ([35]).

Es un método post Hartree-Fock para encontrar la función de onda y la energía del estado básico y los estados excitados de un sistema de muchas partículas, teniendo en cuenta la correlación entre ellas.

Se basa en el planteamiento del principio variacional lineal para la función de onda del sistema, que se desarrolla en términos de una base de funciones en el espacio de Fock de N partículas, de la siguiente manera:

$$\Psi^{(n)} = C_0^{(n)} \Phi_0 + \sum_{\sigma,\lambda} X_{\sigma\lambda}^{(n)} \Phi_{\lambda}^{\sigma} + \sum_{\sigma,\tau,\lambda,\mu} Z_{\sigma\tau\lambda\mu}^{(n)} \Phi_{\lambda\mu}^{\sigma\tau} + \dots \quad (2.32)$$

Usualmente las funciones de la base $\{\Phi\}$ suelen denominarse configuraciones y tienen las mismas propiedades de simetría de la función de onda del sistema de partículas. En particular para el caso de electrones (que son fermiones) esta es una base de determinantes de Slater (funciones antisimétricas).

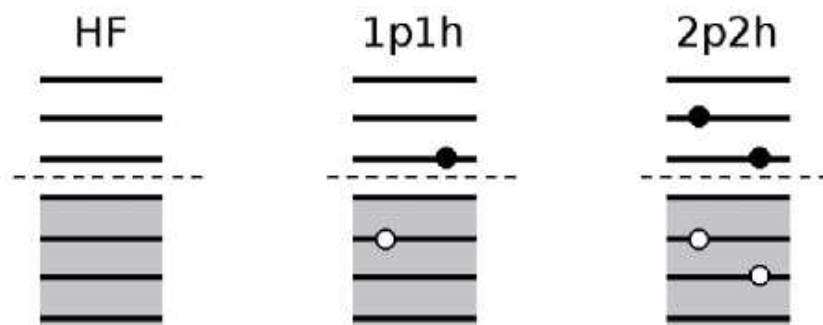


Figura 2.1: Esquema que representa a las configuraciones HF, 1p1h, y 2p2h en el espectro electrónico de HF (líneas continuas horizontales). Con fondo gris, se muestran los estados ocupados, y con fondo blanco, los desocupados. Los puntos negros son electrones y los blancos huecos.

El determinante de Slater Φ_0 , que aparece en el primer término, es la función de onda de HF. Los determinantes de Slater subsecuentes ($\Phi_\lambda^\sigma, \Phi_{\lambda\mu}^{\sigma\tau}, \dots$) se obtienen de sustituir orbitales ocupados λ, μ, \dots (con energía menor que la energía de Fermi) por orbitales virtuales o desocupados σ, τ, \dots (con energía mayor que la energía de Fermi) de HF. O sea, los determinantes del segundo término son las configuraciones obtenidas a partir de considerar una partícula en un orbital de HF desocupado σ y dejar vacío un orbital de HF ocupado λ , llamadas configuraciones 1p1h (*one-particle one-hole*) o excitaciones simples; los del tercer término son las configuraciones obtenidas a partir de considerar dos partículas en dos orbitales desocupados σ, τ y dejar vacíos dos orbitales ocupados λ, μ , llamadas configuraciones 2p2h (*two-particles two-holes*) o excitaciones dobles (Fig. 2.1). Sustituyendo n orbitales ocupados por n desocupados, se obtiene el término $n + 1$ del desarrollo.

La magnitud $\langle \Phi | \hat{H} | \Phi \rangle$ siempre es mayor que la energía exacta, de manera que minimizándola respecto a los coeficientes de los Slaters (principio variacional lineal, véase Ep. 2.2) se obtiene la mejor aproximación a la energía exacta. Esto conduce a un problema de autovalores y autovectores ([28]) que es posible representar ([36]), tomando hasta configuraciones 2p2h, como:

$$\begin{pmatrix} E_{HF} & 0 & D^t \\ 0 & A & B^t \\ D & B & C \end{pmatrix} \begin{pmatrix} C_0 \\ X \\ Z \end{pmatrix} = E \begin{pmatrix} C_0 \\ X \\ Z \end{pmatrix} \quad (2.33)$$

donde $E_{HF} = \langle \Phi_0 | \hat{H} | \Phi_0 \rangle$ es la energía de HF, $D_{HF, \sigma\tau\lambda\mu} = \langle \Phi_0 | \hat{H} | \Phi_{\lambda\mu}^{\sigma\tau} \rangle$, $A_{\sigma\lambda, \sigma'\lambda'} = \langle \Phi_\lambda^\sigma | \hat{H} | \Phi_{\lambda'}^{\sigma'} \rangle$ es la matriz de Tamm-Dankoff, $B_{\sigma\lambda, \sigma'\tau'\lambda'\mu'} = \langle \Phi_\lambda^\sigma | \hat{H} | \Phi_{\lambda'\mu'}^{\sigma'\tau'} \rangle$, y $C_{\sigma\tau\lambda\mu, \sigma'\tau'\lambda'\mu'} = \langle \Phi_{\lambda\mu}^{\sigma\tau} | \hat{H} | \Phi_{\lambda'\mu'}^{\sigma'\tau'} \rangle$. (Las expresiones explícitas de estos elementos de matriz se pueden consultar en el Apéndice A.).

En el problema (2.33) los autovectores son el conjunto de valores de los coeficientes $C_0, X_{\sigma\lambda}, Z_{\sigma\tau\lambda\mu}$ que hagan mínima la energía, y los autovalores E , los niveles de energía para diferentes estados (el estado básico y los estados excitados).

Se puede demostrar de manera sencilla que tomando todas las configuraciones posibles (FCI, *Full Configuration Interaction*), o sea una base completa de funciones $\{\Phi\}$, la energía que resulta de este problema de autovalores es la energía exacta (dentro del marco de la Mecánica Cuántica no-relativista), y por ello es muy útil como referencia para calibrar métodos aproximados ([28],[33]).

Ahora bien, como usualmente la base de funciones de una partícula $\{\psi\}$ (orbitales) suele estar truncada (véase 2.3), la energía obtenida con el método FCI tampoco es la energía exacta. Aunque es la mejor aproximación que se puede obtener para determinado valor fijo de orbitales y el mismo tipo de base.

El desarrollo de la función de onda del sistema en la base de funciones de N partículas ($\{\Phi\}$) tiene un gran número de términos, incluso para una pequeña base de orbitales ([33]). El Hamiltoniano (2.2), que no tiene en cuenta las interacciones debidas al espín, conmuta con los operadores de proyección de espín y espín total (\hat{S}_z y \hat{S}^2), y por tanto los elementos de matriz $\hat{H}_{\mu\nu} = \langle \Phi_\mu | \hat{H} | \Phi_\nu \rangle$ desaparecerán si Φ_μ y Φ_ν son autofunciones de espín con diferentes autovalores M_s o S . De manera que si la base de funciones $\{\Phi\}$ son autofunciones de espín se reduce considerablemente la dimensión de la matriz Hamiltoniana. Aún así el número de términos de la base (Slaters, para electrones) $\#_{config}$ aumenta drásticamente con el número de partículas N y el tamaño de la base de orbitales N_{orb} :

$$\#_{config} = \sum_{n=0}^N C_n^{N_{orb}-N} C_n^N = \sum_{n=0}^N \frac{(N_{orb}-N)!}{n!(N_{orb}-N-n)!} \frac{N!}{(N-n)!n!} \quad (2.34)$$

Para valores grandes de estas magnitudes el costo computacional de diagonalizar matrices de dimensión grande hace que este método (FCI) sea intratable. Por lo tanto es usual recurrir al truncamiento de la base de funciones de N partículas hasta excitaciones simples (CIS), dobles (CISD), triples (CISDT), o cuádruples (CISDTQ). Debe tenerse en cuenta que, para buscar una corrección a la energía del estado básico, la base de funciones debe extenderse al menos hasta excitaciones dobles. Esto último es consecuencia de que el estado de HF no se mezcla con los estados 1p1h ($\langle \Phi_0 | \hat{H} | \Phi_\lambda^\sigma \rangle = 0$), Teorema de Brillouin ([31]). Estos métodos (CISD, CISDT, CISDTQ) tienen en cuenta una parte de la correlación electrónica, no toda, y se mejorará la aproximación en tanto crezca el tamaño de la base de N partículas considerada, o sea en tanto las funciones $\{\Phi\}$ se aproximen a una base completa.

El método FCI es consistente al tamaño (*size-consistent*), o sea la energía de dos sistemas suficientemente lejanos es la suma de las energías de cada uno de los sistemas independientemente, y es extensivo (*size-extensive*), o sea la energía del sistema es una función lineal del número de partículas N . Esto no ocurre con los métodos CI truncados ([33], [34]).

Capítulo 3

Resultados y discusión

3.1. Implementación y detalles computacionales

El método de HF fue implementado para átomos en FORTRAN 90, en forma de módulo. Algunas peculiaridades de la implementación se detallan más adelante. Todos los cálculos de CISD fueron ejecutados utilizando una adaptación para átomos de la librería QDOTLIB ([37]), originalmente concebida para el cálculo de propiedades electrónicas de puntos cuánticos. El módulo de HF y la librería QDOTLIB emplean subrutinas de la librería de Álgebra Lineal LAPACK de la librería numérica MKL. Para diagonalizar matrices muy grandes (de dimensión mayor o igual que 20000) se utiliza el algoritmo de Lanczos (véase Apéndice C).

La base de funciones de una partícula empleada es la base de átomos hidrogenoides:

$$\Psi_{nlm}(\vec{r}) = R_{nl}(r)Y_{lm}(\theta, \phi) \quad (3.1)$$

donde $Y_{lm}(\theta, \phi)$ son los armónicos esféricos y la expresión de $R_{nl}(r)$ normalizada viene dada por:

$$R_{nl}(r) = - \left\{ \left(\frac{2Z}{na_0} \right)^3 \frac{(n-l-1)!}{2n[(n+l)!]^3} \right\}^{1/2} e^{-\rho/2} \rho^l L_{n+l}^{2l+1}(\rho) \quad (3.2)$$

con:

$$\rho = \frac{2Z}{na_0}r \quad (3.3)$$

$$a_0 = \frac{4\pi\epsilon_0\hbar^2}{mc^2} \quad (3.4)$$

En particular fueron utilizados sólo 408 estados de esta base (Fig. 3.1), desde el $1s(n=1, l=0)$ hasta el $8j(n=8, l=7)$, 204 con proyección de espín $s_z = 1/2$ y 204 con $s_z = -1/2$.

Con esta base fueron calculados, previamente, los elementos de matriz del potencial de Coulomb $\langle \varphi_\theta \varphi_\beta | 1/|\vec{r}_i - \vec{r}_j| \varphi_\gamma \varphi_\delta \rangle$ (véase Apéndice B). Los índices θ, β, γ y δ son dependientes de los números cuánticos n, l, m, s_z . Las reglas de selección para estas integrales bielectrónicas permiten que no se calculen y no se almacenen los elementos matriciales de Coulomb nulos.

El método de HF implementado tiene las siguientes particularidades:

1. Se desprecian los coeficientes que son menores que cierto valor arbitrario (en particular, en los cálculos presentados se escogió el valor 0,003), i.e. se evalúan como nulos si cumplen dicha desigualdad.

2. El criterio de parada (condición de convergencia) que se impuso fue el siguiente:

$$|\varepsilon_n^{(i)} - \varepsilon_n^{(i-1)}| < 10^{-6}; \forall \varepsilon_n < \varepsilon_f \quad (3.5)$$

donde ε_f es la energía de Fermi.

3. Además, en la autoconsistencia se usa el método de subrelajación para garantizar la convergencia, de manera que la matriz Hamiltoniana diagonalizada en la iteración i -ésima no es precisamente H sino:

$$H^{(i)} = (1 - \omega)H^{(i-1)} + \omega H(\{\mathbf{C}^{(i)}\}) \quad (3.6)$$

donde ω es un parámetro de fricción o historia que está entre 0 y 1. En la gran mayoría de los cálculos que se presentarán en este artículo se utilizó $\omega = 0,3$ aunque en el caso de los cálculos para $N = 2$ se requirió un valor $\omega = 0,5$.

Además, se implementó el método Post-Hartree-Fock de CISD (Fig. 3.1) con un truncamiento de la base de funciones de N partículas por energía y por reglas de selección por proyección de momento angular y de espín, además de por tipo de excitaciones consideradas (1p1h y 2p2h). O sea, no se consideran los Slaters Φ_λ^σ cuando:

$$\begin{aligned}
|\varepsilon_\lambda - \varepsilon_\sigma| &> E_{corte} \\
|m_\lambda - m_\sigma| &\neq \Delta m \\
|s_{z\lambda} - s_{z\sigma}| &\neq \Delta s_z
\end{aligned} \tag{3.7}$$

y los Slaters $\Phi_{\lambda\mu}^{\sigma\tau}$ cuando:

$$\begin{aligned}
|\varepsilon_\lambda + \varepsilon_\mu - \varepsilon_\sigma - \varepsilon_\tau| &> E_{corte} \\
|m_\lambda + m_\mu - m_\sigma - m_\tau| &\neq \Delta m \\
|s_{z\lambda} + s_{z\mu} - s_{z\sigma} - s_{z\tau}| &\neq \Delta s_z
\end{aligned} \tag{3.8}$$

Se escogieron los valores $\Delta m = 0$ y $\Delta s_z = 0$ para las dos últimas condiciones. Se utilizó el valor de E_{corte} tal que $\#_{config}$ fuese aproximadamente igual a 5000 para el caso $N = 2$, 11000 para $N = 3$, y 50000 para $N = 10, 11, 18, 19$.

Se hicieron cálculos de HF y CISD para sistemas atómicos con $N = 2, 3, 10, 11, 18, 19$ y para sistemas con un electrón menos en cada caso (salvo en el caso en que $N - 1 = 1$, cuyo resultado es analítico y muy bien conocido) para $Z_{core} \in (-1, 1)$ con paso $\Delta Z_{core} = 0,1$. El objetivo de estos cálculos es hallar para cada Z_{core} la energía de ionización $E_I(Z_{core}) = E(N, Z_{core}) - E(N - 1, Z_{core})$.

Los cálculos de la energía del estado básico de los sistemas atómicos con N y $N - 1$ electrones son aproximados debido al truncamiento de la bases de una partícula y de N partículas. Sin embargo, dado un tamaño fijo de la base de una partícula (en nuestro caso 408 estados de la base de átomos hidrogenoides), la mejor aproximación a la energía del estado básico se obtiene incluyendo más efectos de correlación electrónica, o sea aumentando el tamaño de la base de N partículas $\#_{config}$; esta aproximación debe converger cuando $\#_{config}$ sea suficientemente grande, i.e. cuando se toman en cuenta todas las configuraciones posibles (*Full Configuration Interaction*) en el desarrollo de la función de onda del sistema (2.32).

Un estudio de la dependencia de E_I con $\#_{config}$ se muestra en la Fig. 3.2 para el caso de $Z = 10$ y $N = 10$, átomo neutro de Neón (Ne), y para el caso de $N = 10$ y $Z = 9$, anión simplemente cargado de Flúor (F^-). En el gráfico $\#_{config}$ es tal que no incluyen configuraciones más allá de las excitaciones dobles (CISD).

Nótese, ante todo, que la convergencia de E_I no se obtiene en ninguno de los dos casos, aún cuando $\#_{config} = 80000$. En el caso del Ne , se pueden

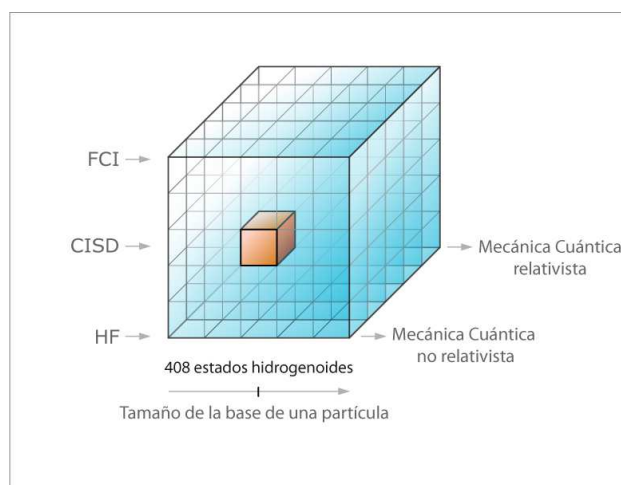


Figura 3.1: Esquema en que se registran las aproximaciones en el cálculo *ab initio* implementado. En el eje horizontal, en profundidad, se señala si el Hamiltoniano tiene en cuenta algún efecto relativista; en este estudio se trabaja dentro de la Mecánica Cuántica no relativista. En el eje horizontal, de izquierda a derecha, se indica el tamaño de la base de una partícula (orbitales); 408 estados hidrogenoides en este caso. Y, en el eje vertical, se muestra el tipo de base de N partículas considerada; hasta excitaciones dobles en nuestro caso.

comparar los valores de E_I calculados con el obtenido de forma experimental ¹ (línea roja). Además, podemos advertir comparando el comportamiento para F^- y para Ne que la convergencia no se obtendrá para el mismo número de configuraciones.

De manera que la energía de ionización calculada numéricamente no es una aproximación *buena* a la energía de ionización del sistema físico real. No obstante, el propósito de este trabajo no es obtener con exactitud la energía de ionización de los átomos estudiados sino describir características generales del comportamiento de esta magnitud en el dominio aniónico para dichos sistemas, y, para ello, los cálculos numéricos ejecutados resultan claramente satisfactorios, como veremos más adelante.

¹Todos los resultados experimentales considerados provienen de la base de datos del NIST (*National Institute of Standards and Technology*), cuya dirección electrónica es www.nist.gov.

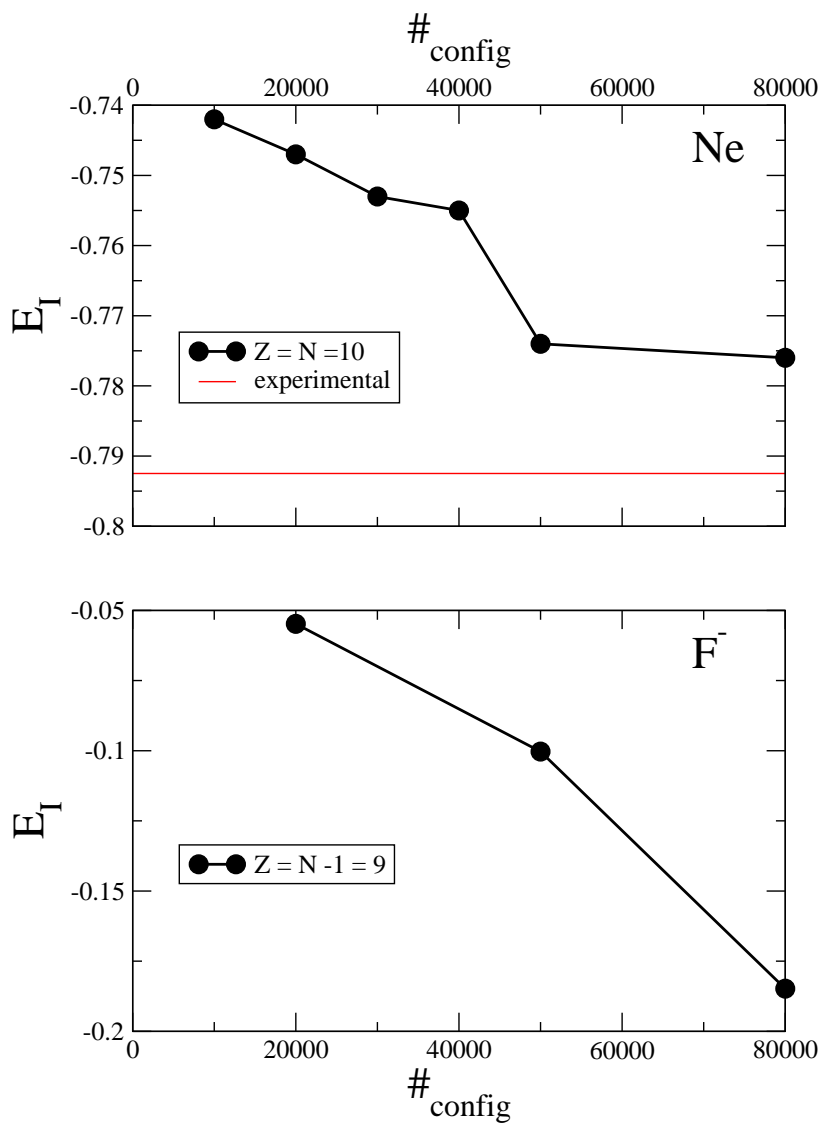


Figura 3.2: Gráfico de E_I vs. $\#_{config}$ para el caso Ne y F^- . La línea roja representa la energía de ionización del Ne obtenida experimentalmente.

Existe cierta indefinición acerca de cómo calcular la energía de ionización de un átomo con N electrones utilizando el algoritmo de Interacción de Configuraciones truncado, y uno puede plantearse dos variantes: (1) calcular la energía del estado básico de los átomos con N y $N - 1$ electrones para un número de configuraciones fijo ($\#_{config}$), aproximadamente igual en los dos sistemas, escogiendo diferentes energías de corte (E_{corte}) tales que verifiquen en cada caso que se tiene el valor correcto de $\#_{config}$; o (2) calcular la energía del estado básico de ambos sistemas para la misma E_{corte} , o sea con un número de configuraciones diferente en cada caso. El análisis de la dependencia de E_I con $\#_{config}$ y las comparaciones con resultados experimentales, en cada caso, permitieron concluir que el esquema de cálculo más adecuado es el (2). (En el caso en que se fija E_{corte} , el número de configuraciones al que se hace referencia es el del sistema con N partículas.). De manera que todos los cálculos, incluso los mostrados en la Fig. 3.2, fueron realizados fijando, para ambos sistemas, el valor de E_{corte} , que como ya se ha visto es el parámetro que limita las excitaciones consideradas en la construcción de los Slaters.

3.2. Espectros de energía de átomos en el dominio aniónico

Una de las formas más elementales de entender la estabilidad del átomo de N electrones para $Z < N$ es analizar qué le ocurre a su espectro energético a medida que se disminuye la carga nuclear.

Para un análisis fenomenológico de esta situación utilicemos el modelo de una partícula enunciado en 1.3. En el caso neutro, $Z_{core} > 0$, el espectro energético del electrón más lejano al núcleo tiene infinitos niveles, y estos tienen un punto de acumulación (*continuum*) para $\varepsilon = 0$, debido a que el electrón considerado, a largas distancias, sólo percibe un núcleo con carga efectiva Z_{core} (átomo hidrogenoide con carga nuclear Z_{core}). Ahora bien, cuando $Z_{core} = 0$ se tiene que la cantidad de niveles de energía para en el modelo de una partícula es finita, debido a que la profundidad del pozo cuadrado, utilizado para describir las interacciones de corto alcance, es finita. De manera que el espectro energético colapsa, i.e. pasa de una cantidad infinita a una cantidad finita de niveles de energía, en $Z_{core} = 0$. Para $Z_{core} < 0$ la cantidad de niveles debe decrecer con la disminución de la carga nuclear

y, finalmente, cuando $Z_{core} = Z_{core}^{(c)}$ el estado básico del electrón más lejano entra en el *continuum* y el sistema con N partículas se autoioniza.

Los cálculos numéricos de la energía del estado básico y los primeros estados excitados de un sistema con N electrones también permiten visualizar este comportamiento. Si definimos la energía de ionización $E_I^{n_s}$ como la energía necesaria para mantener ligado al electrón más lejano al núcleo, encontrándose el sistema en el estado n_s , se tiene que $E_I^{n_s} = E^{n_s}(Z, N) - E^1(Z, N - 1)$, donde $E^{n_s}(Z, N)$ es la energía del estado n_s del sistema con N electrones y carga nuclear Z . En la Fig. 3.3 se muestra el espectro $E_I^{n_s}$ para el dominio aniónico ($Z_{core} \leq 1$) en el caso de $N = 10$, donde se muestran solamente aquellos estados n_s para los cuales $E_I^{n_s} < 0$ en la región del átomo neutro ($Z_{core} = 1$)

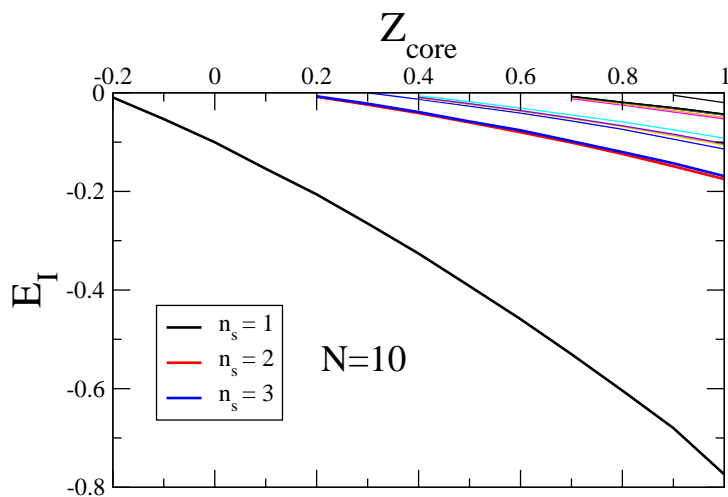


Figura 3.3: Espectro energético de energías de ionización del sistema con $N = 10$ para $Z_{core} \leq 1$. En la figura se muestran los primeros 22 estados para los cuales $E_I < 0$.

Obsérvese que por el contrario de la descripción fenomenológica dada, la cantidad de niveles energéticos es finita en todo el intervalo de Z_{core} . Esto se debe al truncamiento de la base de una partícula. Además, la razón por la cual no aparecen más estados para determinado Z_{core} puede no estar relacionada con propiedades intrínsecas del sistema, y sí con los orbitales monoeléctricos escogidos; en específico, es posible que se deba a que las

funciones de onda consideradas en la base tengan un radio característico menor que las necesarias para describir la interacción de largo alcance del último electrón con el núcleo efectivo cuando la carga nuclear es suficientemente pequeña. Sin embargo, lo más importante que se debe resaltar de la Fig. 3.3, es que, en efecto, el estado básico y los estados excitados van aproximándose a $E_I = 0$ cuando disminuye Z_{core} , hasta que, para $Z_{core} = Z_{core}^{(c)}$, todos los estados son absorbidos por el *continuum* y el sistema se vuelve inestable. (Véase ‘absorción de autovalores’ en sistemas débilmente ligados en [15]-[17].).

3.3. Estabilidad y universalidad de aniones atómicos en fase gaseosa

Los cálculos numéricos de CI para la energía de ionización de átomos con N electrones arrojaron que para la carga nuclear crítica se cumple que:

$$N - 2 < Z^{(c)} < N - 1 \quad (3.9)$$

para los átomos con la estructura electrónica de gases nobles ($N = 2, 10, 18$), véase la Tabla 3.1. Lo que indica que, en fase gaseosa, existen aniones atómicos simples ($Z = N - 1$) estables, y que los aniones atómicos doblemente cargados ($Z = N - 2$) son inestables, resultado que está en correspondencia con lo obtenido por Kais y Serra ([13]).

N	2	10	18
$Z_{core}^{(c)}$	-0,035246	-0,219341	-0,353622

Cuadro 3.1: Tabla de $Z_{core}^{(c)}$ para $N = 2, 10, 18$.

Sin embargo, en el caso de los metales alcalinos ($N = 3, 11, 19$) se obtuvo $Z^{(c)} \geq N - 1$, de manera que no existen los aniones atómicos simples con la estructura electrónica de los metales alcalinos.

Otra característica distintiva de estos dos grupos de átomos es el comportamiento de E_I en la vecindad del valor umbral de Z_{core} . En la Fig. 3.4 se muestra dicha diferencia.

Nótese primero que en el caso de los gases nobles ocurre que los elementos con mayor número de electrones son menos estables en la región del átomo

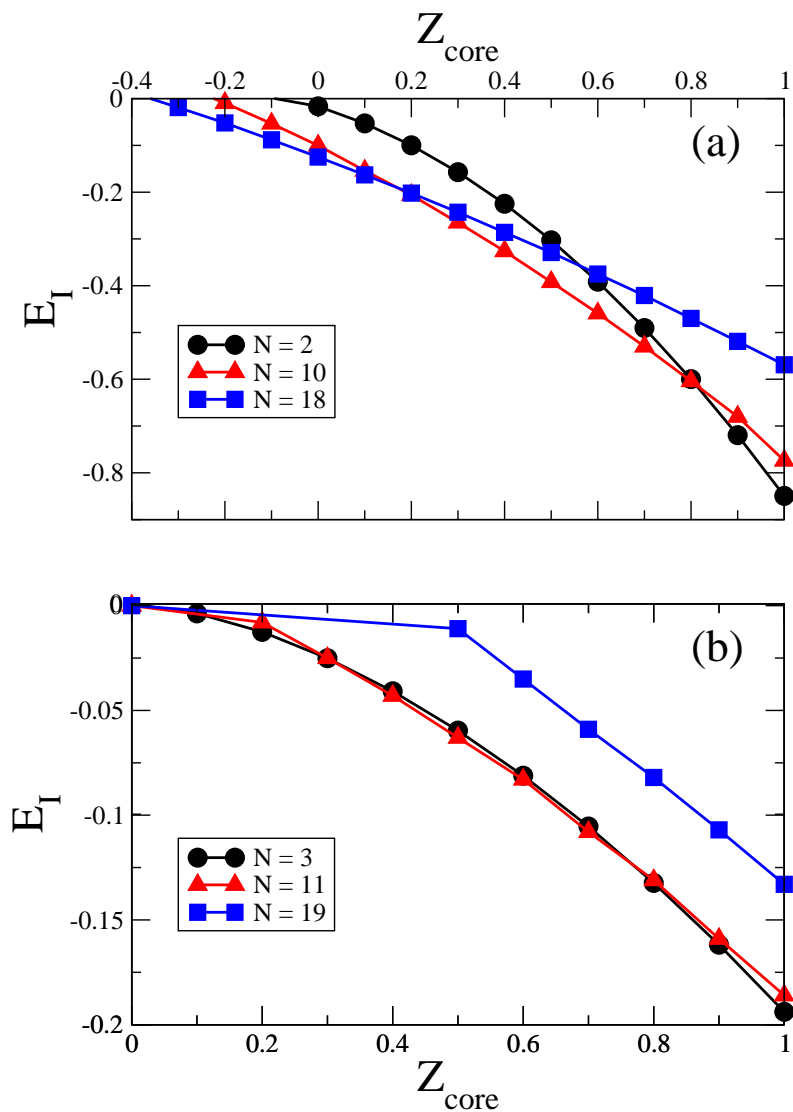


Figura 3.4: Gráfico de E_I vs. Z_{core} . En (a) se muestran los casos de átomos con la estructura electrónica de gases nobles y en (b) los casos con la estructura electrónica de los metales alcalinos. Obsérvese que $Z_{core}^{(e)} < 0$, es decir $Z^{(e)} < N - 1$, para los gases nobles.

neutro, sin embargo a partir de cierto valor de Z_{core} esta característica se invierte, i.e. las curvas se cruzan, y en la región aniónica cercana al valor umbral $Z_{core} = Z_{core}^{(c)}$ son más estables los átomos con más electrones (véase también la Tabla 3.1).

En el caso de los metales alcalinos se muestra que esta característica no está presente, i.e. los elementos con menor número de electrones son siempre más estables. Es preciso hacer notar que para $N = 11$ y $N = 19$ los puntos con $Z_{core} < 0,2$ y $Z_{core} < 0,5$, respectivamente, no fueron calculados correctamente con los métodos numéricos utilizados, y que la unión con el punto $(0,0)$ es simplemente una guía visual. Este cálculo puede mejorarse aumentando la cantidad de configuraciones consideradas en la función de onda de CI (2.32) y aumentando la cantidad de orbitales de una partícula utilizados en HF.

Para hallar una expresión analítica para el comportamiento de E_I en las proximidades del valor umbral $Z_{core}^{(c)}$, en ambos casos, utilizamos el modelo propuesto en el epígrafe 1.3. Previamente se hizo un ajuste de los cálculos numéricos con los resultados del modelo para el primer nivel de energía, energía de enlace. Este ajuste no es perfecto pero para valores cercanos a $Z_{core}^{(c)}$ es muy bueno, de manera que este modelo es útil para estudiar el comportamiento analítico en la región umbral.

El caso de los gases nobles puede ser modelado con el potencial de una partícula del Ep. 1.3, de manera que $V(r)$ sea tal que admita al menos un estado ligado para $Z_{core} = 0$, o sea que el pozo cuadrado tenga la suficiente profundidad V_0 como para admitir un nivel de energía. Ahora bien, la zona de interés en el dominio de Z_{core} será $Z_{core} < 0$, donde el potencial de Coulomb es repulsivo. Para esta región debe existir un valor crítico $Z_{core} = Z_{core}^{(c)}$ para el cual el electrón más lejano al núcleo deje de estar ligado, i.e. se produzca efecto túnel a través de la barrera coulombiana repulsiva (véase Fig. 3.5).

Para problemas de dos partículas (e.g. el corión y un electrón) con un potencial repulsivo menor que decae más lentamente que $\frac{1}{r^2}$ (en particular el potencial coulombiano $|Z_{core}|/r$) es conocido ([15]) que la función de onda en el estado de cero energía del umbral tiene radio finito, de manera que en la aproximación a la zona umbral no hay un cambio brusco en la función de onda del sistema. Por tanto es posible hallar el comportamiento en la región umbral ($Z_{core} \approx Z_{core}^{(c)}$) por el método perturbativo, entendiendo la variación en el potencial de Coulomb con respecto a Z_{core} como perturbación $\Delta\hat{V}$. Para ello se parte de la función de onda del estado básico $\psi^{(c)}$ y el Hamiltoniano en el umbral $\hat{H}(Z_{core}^{(c)}) = \hat{H}^{(c)}$, y se procede como sigue:

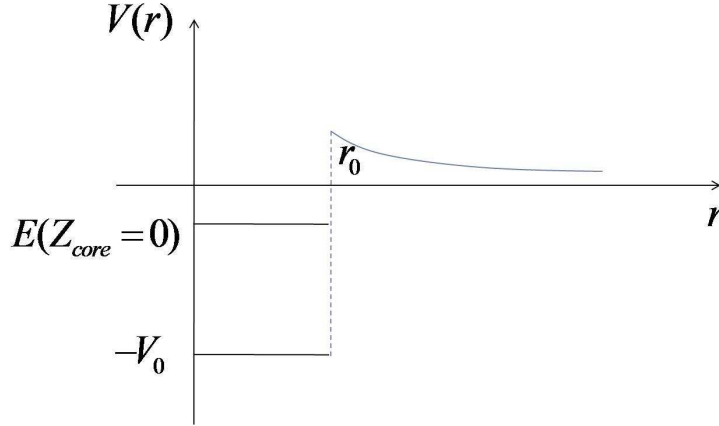


Figura 3.5: Esquema que representa el potencial de una partícula característica para los átomos con capas electrónicas llenas.

$$\begin{aligned}
 E &\approx \langle \psi^{(c)} | \hat{H}^{(c)} | \psi^{(c)} \rangle + \langle \psi^{(c)} | \Delta \hat{V} | \psi^{(c)} \rangle \\
 &= E(Z_{core}^{(c)}) + \langle \psi^{(c)} | -\frac{Z_{core} - Z_{core}^{(c)}}{r} | \psi^{(c)} \rangle \\
 &= -\langle \psi^{(c)} | \frac{Z_{core} - Z_{core}^{(c)}}{r} | \psi^{(c)} \rangle \\
 &= c_1 + c_2 Z_{core}
 \end{aligned} \tag{3.10}$$

Nótese además que, el valor medio, bajo la función de onda en el umbral $\psi^{(c)}$, del Hamiltoniano evaluado en $Z^{(c)}$ es igual a la energía del electrón para $Z_{core} = Z_{core}^{(c)}$, o sea $\langle \psi^{(c)} | \hat{H}^{(c)} | \psi^{(c)} \rangle = E(Z_{core}^{(c)})$, y que, por definición de $Z_{core}^{(c)}$, $E(Z_{core}^{(c)}) \equiv 0$.

Por tanto, el comportamiento de E_I cercano al umbral de autoionización es lineal con Z_{core} . Este resultado y el hecho de que existe un radio finito para la función de onda del último electrón en el estado de cero energía del umbral, indica que puede existir una transición de fase de primer orden en $Z_{core}^{(c)}$ para átomos con $N = 2, 10, 18$ (en [13] ya se había señalado esta particularidad para los átomos con $N = 2$).

Los cálculos mostrados en la Tabla 3.1 fueron resultado de un ajuste lineal de la data para $N = 2, 10, 18$ para puntos cercanos a $E_I = 0$. En la Fig. 3.6

se muestra la relación entre $Z_{core}^{(c)}$ y N , y entre la pendiente c_1 (véase la Ec. 3.10) y N .

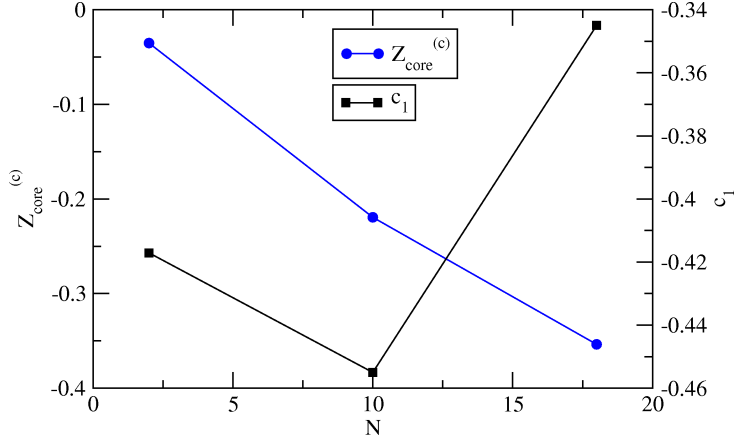


Figura 3.6: a) Comportamiento de $Z_{core}^{(c)}$ (círculos azules) y la pendiente c_1 (cuadrados negros) con N .

Los resultados de la Tabla 3.1 y la Fig. 3.6 pueden ser mejorados aumentando el tamaño de la base de N partículas (2.32), o sea escogiendo un E_{corte} mayor que permita que la cantidad de configuraciones crezca (véase 3.7 y 3.8).

Ahora bien, analicemos el caso de los metales alcalinos. El potencial de una partícula que describe correctamente este caso es tal que para $Z_{core} < 0$ no existe estado ligado (Fig. 3.4 b), En $Z_{core} = 0$, $V(r)$ no debe admitir ningún nivel de energía, el pozo cuadrado debe ser muy poco profundo o incluso pudiera existir una barrera ($-V_0 > 0$) para $r < r_0$ (véase la Fig. 3.7).

El radio característico de la interacción de Coulomb es inversamente proporcional a la carga nuclear (en este caso: $r_{Coul} \sim 1/Z_{core}$), de manera que a cuando $Z_{core} \rightarrow 0$ el radio r_{Coul} crece infinitamente. O sea para Z_{core} suficientemente pequeña $r_{Coul} \gg r_0$ y se puede considerar entonces que $r_0 \rightarrow 0$. Este límite permite hallar el comportamiento analítico de E_I cerca de $Z_{core}^{(c)}$ en el caso de los sistemas con la estructura electrónica de los metales alcalinos.

La función de onda radial para el límite $r_0 \rightarrow 0$ resulta (véase 1.5):

$$R(r) = B \frac{W_{\beta, 1/2}(\alpha r)}{r}, \quad r > r_0 \rightarrow 0 \Rightarrow r > 0 \quad (3.11)$$

Para cualquier problema de campo central la función de onda evaluada en cero es estrictamente cero, de manera que:

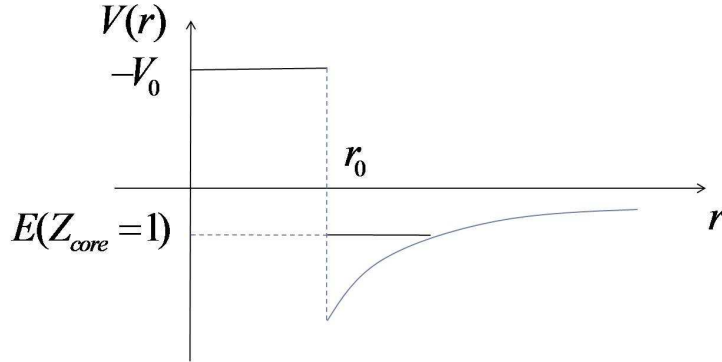


Figura 3.7: Esquema que representa el potencial de una partícula característica de los átomos con la estructura electrónica de los metales alcalinos.

$$W_{\beta(\varepsilon), 1/2}(\alpha(\varepsilon)r_0) = 0 \quad (3.12)$$

Exigiendo que $\varepsilon \rightarrow 0$ (umbral de autoionización) se tiene que $\alpha(\varepsilon) \rightarrow 0$ (Ec. 1.6), por tanto:

$$W_{\beta(\varepsilon), 1/2}(0) = 0 \quad (3.13)$$

La ecuación anterior sólo se cumple cuando $\beta(\varepsilon)$ es entero. De la Ec. 1.6:

$$|\varepsilon| = \frac{1}{2} \left(\frac{Z_{core}}{\beta} \right)^2 \quad (3.14)$$

Ahora bien evaluando en esta expresión el entero β de menor módulo se obtiene la energía de mayor módulo, i.e. la energía del estado básico o energía de enlace del electrón débilmente ligado. O sea:

$$\begin{aligned} |\varepsilon_0| &= \frac{1}{2} \left(\frac{Z_{core}}{|\beta|_{min}} \right)^2 \\ \Rightarrow \varepsilon_0 &= -\frac{Z_{core}^2}{2} \end{aligned} \quad (3.15)$$

De manera que el comportamiento de la energía de ionización cercano a $Z_{core}^{(c)}$ es como el de los átomos hidrogenoides. Por tanto, $Z_{core}^{(c)} = 0$ (3.15). Hecho que explica la inestabilidad de aniones atómicos para $N = 3, 11, 19$ e

indica la zona universal en el comportamiento de E_I vs. Z_{core} , para $Z_{core} \approx 0$. En la Fig. 3.4 esta universalidad no es evidente porque los cálculos numéricos cercanos a $Z_{core}^{(c)}$ (en este caso $Z_{core}^{(c)} = 0$, véase la Ec. 3.15) son muy imprecisos. Esto último es consecuencia del tamaño de la base de orbitales de una partícula empleada; no se consideran funciones de onda de una partícula de radio característico suficientemente grande. Sin embargo, el comportamiento analítico hallado indica que el tipo de transición de fase presente en este caso ($N = 3, 11, 19$) es continua o de segundo orden (resultado obtenido en [13] para $N = 3$).

Conclusiones

En la tesis presentada se observa ante todo que la estabilidad de aniones atómicos simplemente cargados es una propiedad dependiente del número de electrones de una forma cuasiperiódica, donde el período varía según el número de electrones que llenan una capa electrónica (e.g. 2, 8, 8, etc.). Los átomos con la estructura electrónica de los gases nobles, son siempre más estables (i.e. tienen energía de ionización menor para todo Z) que los que tienen la estructura electrónica de los metales alcalinos, y sólo existen de forma estable aniones atómicos simplemente cargados ($Z = N - 1$), en fase gaseosa, en el caso de los gases nobles. A pesar de que resulta evidente que $Z_{core}^{(c)}$ y c_1 deben ser funciones de N , dado que es el único parámetro libre de los sistemas atómicos en este estudio, no se pudo obtener una dependencia de esta magnitud que fuera útil para escalar los valores de E_I y Z_{core} en la Fig. 3.4. Para encontrar esta dependencia será necesario aumentar la cantidad de casos estudiados, o sea realizar cálculos numéricos de la energía de ionización para $N = 36, 54, 86$.

El comportamiento de la energía de ionización para el dominio aniónico es una característica comparativamente diferente para estos dos grupos de átomos. Es notable, por ejemplo, que la aproximación de la energía de ionización al umbral de la carga nuclear es mucho más abrupta para los gases nobles, con una escala de variación de $\sim 0,9$ u.a., mientras que en el caso de los metales alcalinos la variación es de $\sim 0,2$ u.a.. La dependencia analítica, obtenida a partir del modelo de una partícula, de la energía de ionización con la carga del corión, en las proximidades de la carga crítica del corión, es lineal en el caso de los gases nobles, y cuadrática (similar a la de los átomos hidrogenoides) en el caso de los metales alcalinos, lo que se ajusta a los resultados obtenidos mediante el cálculo numérico de CISD (Fig. 3.4) y señala lo apropiado que es el modelo propuesto para la descripción de los procesos de autoionización en un átomo con N electrones.

La zona universal develada por el modelo de una partícula, en cada caso, es la zona próxima al umbral de autoionización, o sea cercano a $Z_{core}^{(c)}$. En el caso de los metales alcalinos se tiene que, según el modelo de una partícula, $Z_{core}^{(c)} = 0$. Aunque los cálculos numéricos no muestran esta particularidad correctamente, para algunos casos, es posible que esto se deba a la implementación computacional de los métodos de la Química Cuántica empleados y no a una propiedad física de estos sistemas.

Recomendaciones

Se recomienda, sobre todo, mejorar los cálculos de la energía de ionización de todos los sistemas considerados aumentando el tamaño de la base de una partícula e incluyendo más efectos de la correlación electrónica, i.e. elevando la dimensión de la base de N partículas (véanse los epígrafes 2.5, 2.6 y 3.1; y la Fig. 3.1), con el inconveniente del crecimiento del costo computacional.

Se deberían obtener los escalamientos adecuados de E_I y Z_{core} con N , de manera que las curvas de E_I vs. Z_{core} se concentren y la universalidad sea evidente.

Además, sería útil ampliar la cantidad de casos estudiados, e.g. incluir $N = 36, 54, 86$ y $N = 37, 55, 87$ en cada uno de los grupos comparados, y analizar los átomos con estructura electrónica similar a otros de los Grupos de la Tabla Periódica.

Apéndice A

Elementos de matriz explícitos en el método de CISD

Para hallar explícitamente los elementos de matriz que aparecen en el problema de autovalores y autovectores $\mathcal{H}\mathbf{C} = E\mathbf{C}$ (2.33), primeramente se utiliza la representación de los números de ocupación para la función de onda Φ_0 de HF (2.32). Como por definición la función de onda de HF es aquella en la que los electrones ocupan los orbitales de menor energía, esta se representa como $|HF\rangle = |1, 1, \dots, 1, 0, 0 \dots 0\rangle$ donde los números 1 señalan los estados ocupados y los 0, los desocupados o virtuales; en este caso, los primeros N orbitales están ocupados y el resto desocupados.

A partir de la función $|HF\rangle$ se generan las configuraciones simples Φ_λ^σ y dobles $\Phi_{\lambda\mu}^{\sigma\tau}$ (que denotaremos en este apéndice por $|\lambda, \sigma\rangle$ y $|\lambda, \mu, \sigma, \tau\rangle$) aplicando los operadores de creación \hat{e}_σ^\dagger y aniquilación \hat{e}_λ de electrones en los estados σ y λ , respectivamente. De modo que, si ε_f es la energía de Fermi del sistema, en $|\lambda, \sigma\rangle = \hat{e}_\sigma^\dagger \hat{e}_\lambda |HF\rangle$ se ha eliminado un electrón en el estado λ , con $\varepsilon_\lambda < \varepsilon_f$, y se ha creado un electrón en el estado σ , con $\varepsilon_\sigma > \varepsilon_f$, y en $|\lambda, \mu, \sigma, \tau\rangle = \hat{e}_\tau^\dagger \hat{e}_\sigma^\dagger \hat{e}_\mu \hat{e}_\lambda |HF\rangle$ se han eliminado dos electrones en los estados λ y μ ($\mu < \lambda$), con $\varepsilon_\mu, \varepsilon_\lambda < \varepsilon_f$, y se han creado dos electrones en los estados σ y τ ($\tau < \sigma$), con $\varepsilon_\sigma, \varepsilon_\tau > \varepsilon_f$ (véase Ep. 2.6).

Una vez escrito el Hamiltoniano en función de los operadores de creación y aniquilación,

$$\hat{H} = \sum_{i,j}^N \langle i|\hat{T}|j\rangle \hat{e}_i^\dagger \hat{e}_j + \frac{1}{2} \sum_{i,j,k,l}^N \langle ij|\hat{T}|kl\rangle \hat{e}_i^\dagger \hat{e}_j^\dagger \hat{e}_l \hat{e}_k$$

las magnitudes:

$$D_{HF,\sigma\tau\mu\lambda} = \langle HF | \hat{H} \hat{e}_\tau^\dagger \hat{e}_\sigma^\dagger \hat{e}_\mu \hat{e}_\lambda | HF \rangle$$

$$B_{\sigma'\lambda',\sigma\tau\mu\lambda} = \langle HF | \hat{e}_{\lambda'} \hat{e}_{\sigma'}^\dagger \hat{H} \hat{e}_\tau^\dagger \hat{e}_\sigma^\dagger \hat{e}_\mu \hat{e}_\lambda | HF \rangle$$

$$A_{\sigma'\lambda',\sigma\lambda} = \langle HF | \hat{e}_{\lambda'} \hat{e}_{\sigma'}^\dagger \hat{H} \hat{e}_\sigma^\dagger \hat{e}_\lambda | HF \rangle$$

$$C_{\sigma'\tau'\mu'\lambda',\sigma\tau\mu\lambda} = \langle HF | \hat{e}_{\lambda'} \hat{e}_{\mu'} \hat{e}_{\sigma'}^\dagger \hat{e}_{\tau'}^\dagger \hat{H} \hat{e}_\tau^\dagger \hat{e}_\sigma^\dagger \hat{e}_\mu \hat{e}_\lambda | HF \rangle$$

se calculan usando el Teorema de Wick.

De manera que para la matriz de Tamm-Dankoff se tiene la expresión:

$$\begin{aligned} A_{\sigma'\mu',\sigma\mu} &= (E_{HF} + \varepsilon_\sigma^{(e)} - \varepsilon_\mu^{(e)}) \delta_{\sigma\sigma'} \delta_{\mu\mu'} \\ &+ \langle \sigma', \mu | 1/r_{ee} | \widetilde{\mu'}, \sigma \rangle, \end{aligned} \quad (\text{A.1})$$

donde los elementos antisimetrizados de Coulomb se definen como:

$$\langle \sigma', \mu | 1/r_{ee} | \widetilde{\mu'}, \sigma \rangle = \langle \sigma', \mu | 1/r_{ee} | \mu', \sigma \rangle - \langle \sigma', \mu | 1/r_{ee} | \sigma, \mu' \rangle \quad (\text{A.2})$$

Los elementos de matriz de Coulomb $\langle \sigma', \mu | 1/r_{ee} | \mu', \sigma \rangle$ son calculados en términos de los elementos de matriz sobre estados hidrogenoides (3.1) usando un desarrollo similar a (2.13).

Finalmente, las matrices D , B y C se escriben explícitamente como:

$$D_{HF,\sigma\tau\mu\lambda} = \langle \mu, \lambda | 1/r_{ee} | \widetilde{\tau}, \sigma \rangle \quad (\text{A.3})$$

$$\begin{aligned} B_{\sigma'\mu',\sigma\tau\mu\lambda} &= \langle \mu, \lambda | 1/r_{ee} | \widetilde{\mu'}, \tau \rangle \delta_{\sigma\sigma'} \\ &+ \langle \mu, \lambda | 1/r_{ee} | \widetilde{\sigma}, \mu' \rangle \delta_{\tau\sigma'} \\ &+ \langle \sigma', \lambda | 1/r_{ee} | \widetilde{\tau}, \sigma \rangle \delta_{\mu\mu'} \\ &+ \langle \sigma', \mu | 1/r_{ee} | \widetilde{\sigma}, \tau \rangle \delta_{\lambda\mu'} \end{aligned} \quad (\text{A.4})$$

$$\begin{aligned}
C_{\sigma'\tau'\mu'\lambda',\sigma\tau\mu\lambda} = & \\
& \left(E_{HF} + \varepsilon_{\sigma}^{(e)} + \varepsilon_{\tau}^{(e)} - \varepsilon_{\mu}^{(e)} - \varepsilon_{\lambda}^{(e)} \right) \delta_{\sigma\sigma'} \delta_{\tau\tau'} \delta_{\mu\mu'} \delta_{\lambda\lambda'} \\
& + \langle \mu, \lambda | 1/r_{ee} | \widetilde{\mu'}, \widetilde{\lambda'} \rangle \delta_{\sigma\sigma'} \delta_{\tau\tau'} + \langle \sigma', \mu | 1/r_{ee} | \widetilde{\mu'}, \widetilde{\sigma} \rangle \delta_{\lambda\lambda'} \delta_{\tau\tau'} \\
& + \langle \tau', \lambda | 1/r_{ee} | \widetilde{\lambda'}, \widetilde{\tau} \rangle \delta_{\sigma\sigma'} \delta_{\mu\mu'} + \langle \tau', \mu | 1/r_{ee} | \widetilde{\tau}, \widetilde{\lambda'} \rangle \delta_{\sigma\sigma'} \delta_{\lambda\lambda'} \\
& + \langle \tau', \lambda | 1/r_{ee} | \widetilde{\tau}, \widetilde{\mu'} \rangle \delta_{\sigma\sigma'} \delta_{\mu\lambda'} + \langle \tau', \mu | 1/r_{ee} | \widetilde{\mu'}, \widetilde{\tau} \rangle \delta_{\sigma\sigma'} \delta_{\lambda\lambda'} \\
& + \langle \tau', \lambda | 1/r_{ee} | \widetilde{\sigma}, \widetilde{\lambda'} \rangle \delta_{\mu\mu'} \delta_{\tau\sigma'} + \langle \sigma', \lambda | 1/r_{ee} | \widetilde{\tau}, \widetilde{\lambda'} \rangle \delta_{\mu\mu'} \delta_{\sigma\tau'} \\
& + \langle \sigma', \lambda | 1/r_{ee} | \widetilde{\lambda'}, \widetilde{\sigma} \rangle \delta_{\mu\mu'} \delta_{\tau\tau'} + \langle \tau', \sigma' | 1/r_{ee} | \widetilde{\tau}, \widetilde{\sigma} \rangle \delta_{\mu\mu'} \delta_{\lambda\lambda'} \\
& + \langle \tau', \mu | 1/r_{ee} | \widetilde{\lambda'}, \widetilde{\sigma} \rangle \delta_{\lambda\mu'} \delta_{\tau\sigma'} + \langle \sigma', \mu | 1/r_{ee} | \widetilde{\lambda'}, \widetilde{\tau} \rangle \delta_{\lambda\mu'} \delta_{\sigma\tau'} \\
& + \langle \sigma', \mu | 1/r_{ee} | \widetilde{\sigma}, \widetilde{\lambda'} \rangle \delta_{\lambda\mu'} \delta_{\tau\tau'} + \langle \tau', \lambda | 1/r_{ee} | \widetilde{\mu'}, \widetilde{\sigma} \rangle \delta_{\mu\lambda'} \delta_{\tau\sigma'} \\
& + \langle \sigma', \lambda | 1/r_{ee} | \widetilde{\sigma}, \widetilde{\mu'} \rangle \delta_{\mu\lambda'} \delta_{\tau\tau'} + \langle \sigma', \lambda | 1/r_{ee} | \widetilde{\mu'}, \widetilde{\tau} \rangle \delta_{\mu,\lambda'} \delta_{\sigma\tau'} \\
& + \langle \tau', \mu | 1/r_{ee} | \widetilde{\sigma}, \widetilde{\mu'} \rangle \delta_{\lambda\lambda'} \delta_{\tau\sigma'} + \langle \sigma', \mu | 1/r_{ee} | \widetilde{\tau}, \widetilde{\mu'} \rangle \delta_{\lambda\lambda'} \delta_{\sigma\tau'} \tag{A.5}
\end{aligned}$$

Apéndice B

Elementos de matriz de Coulomb (integrales bielectrónicas) entre estados hidrogenoideos

Los elementos de matriz de Coulomb, definidos en (2.26), que entran en las ecuaciones de HF (2.3), pueden obtenerse analíticamente si se escogen los estados hidrogenoideos (3.1) como la base de una partícula $\{\varphi\}$. De manera que, calculando la integral bielectrónica sobre estos estados,

$$\langle a, b || c, d \rangle = \int \int \{ \varphi_a^*(r_1) \varphi_b^*(r_2) \frac{1}{|r_1 - r_2|} \varphi_c(r_1) \varphi_d(r_2) d^3r_1 d^3r_2 \} \delta_{S_{z_a} S_{z_c}} \delta_{S_{z_b} S_{z_d}} \quad (\text{B.1})$$

se obtiene:

$$\begin{aligned}
 \langle a, b || c, d \rangle &= Z_A \delta(s_{za}, s_{zc}) \delta(s_{zb}, s_{zd}) \delta(m_a + m_b, m_c + m_d) \delta(l_a + l_b + l_c + l_d, par) \\
 &\times (-1)^{m_b - m_c} \sqrt{(2l_a + 1)(2l_b + 1)(2l_c + 1)(2l_d + 1)} \\
 &\times \sqrt{(n_a - l_a - 1)!(n_a + l_a)!(n_b - l_b - 1)!(n_b + l_b)!(n_c - l_c - 1)!(n_c + l_c)!(n_d - l_d - 1)!(n_d + l_d)!} \\
 &\times \sum_{l=\min}^{l_{\max}} \begin{pmatrix} l_a & l & l_c \\ -m_a & m_a - m_c & m_c \end{pmatrix} \begin{pmatrix} l_a & l & l_c \\ 0 & 0 & 0 \end{pmatrix} \begin{pmatrix} l_b & l & l_d \\ -m_b & m_b - m_d & m_d \end{pmatrix} \begin{pmatrix} l_b & l & l_d \\ 0 & 0 & 0 \end{pmatrix} \\
 &\times \sum_{k_a=0}^{n_a - l_a - 1} \sum_{k_b=0}^{n_b - l_b - 1} \sum_{k_c=0}^{n_c - l_c - 1} \sum_{k_d=0}^{n_d - l_d - 1} \frac{(-1)^{k_a + k_b + k_c + k_d} 2^{k_a + k_b + k_c + k_d + l_a + l_b + l_c + l_d + 4}}{k_a! k_b! k_c! k_d!} \\
 &\times \frac{1}{n_a^{k_a + l_a + 2} (n_a - l_a - k_a - 1)!(2l_a + k_a + 1)!} \frac{1}{n_b^{k_b + l_b + 2} (n_b - l_b - k_b - 1)!(2l_b + k_b + 1)!} \\
 &\times \frac{1}{n_c^{k_c + l_c + 2} (n_c - l_c - k_c - 1)!(2l_c + k_c + 1)!} \frac{1}{n_d^{k_d + l_d + 2} (n_d - l_d - k_d - 1)!(2l_d + k_d + 1)!} \\
 &\times \left[\frac{(l + l_b + l_d + k_b + k_d + 2)!}{(1/n_b + 1/n_d)^{l + l_b + l_d + k_b + k_d + 3}} \left\{ \frac{(l_a + l_c + k_a + k_c + 1 - l)!}{(1/n_a + 1/n_c)^{l_a + l_c + k_a + k_c + 2 - l}} \right. \right. \\
 &- \left. \sum_{s=0}^{l + l_b + l_d + k_b + k_d + 2} \frac{(1/n_b + 1/n_d)^s (l_a + l_c + k_a + k_c + 1 + s - l)!}{s! (1/n_a + 1/n_b + 1/n_c + 1/n_d)^{l_a + l_c + k_a + k_c + 2 + s - l}} \right\} \\
 &+ \frac{(l + l_a + l_c + k_a + k_c + 2)!}{(1/n_a + 1/n_c)^{l + l_a + l_c + k_a + k_c + 3}} \left\{ \frac{(l_b + l_d + k_b + k_d + 1 - l)!}{(1/n_b + 1/n_d)^{l_b + l_d + k_b + k_d + 2 - l}} \right. \\
 &- \left. \left. \sum_{s=0}^{l + l_a + l_c + k_a + k_c + 2} \frac{(1/n_a + 1/n_c)^s (l_b + l_d + k_b + k_d + 1 + s - l)!}{s! (1/n_a + 1/n_b + 1/n_c + 1/n_d)^{l_b + l_d + k_b + k_d + 2 + s - l}} \right\} \right]. \tag{B.2}
 \end{aligned}$$

Aquí $\begin{pmatrix} l_a & l & l_c \\ -m_a & m & m_c \end{pmatrix}$ son los denominados símbolos 3J, distintos de cero sólo cuando

$$-m_a + m + m_c = 0 \tag{B.3}$$

l_a, l, l_c están relacionados entre sí a través de las siguientes desigualdades triangulares:

$$\Delta(l_a, l, l_c) : \begin{cases} l_a + l \geq l_c \\ l_c + l_a \geq l \\ l + l_c \geq l_a \end{cases} \tag{B.4}$$

y la sumatoria por l en (B.2) corre desde $l_{min} = Max[|l_a - l_c|, |l_b - l_d|, |m_a - m_c|]$ hasta $l_{max} = Min[l_a + l_c, l_b + l_d]$, con $l + l_a + l_c = par$.

De la expresión para $\langle a, b || c, d \rangle$ puede verse que la dependencia con Z es trivial:

$$\langle a, b || c, d \rangle_Z = Z \langle a, b || c, d \rangle_{Z=1} \quad (\text{B.5})$$

Así que basta calcular los elementos de matriz para el Hidrógeno y multiplicarlos por Z en caso de cualquier otro elemento químico.

En la implementación se hizo una tabla con los elementos de matriz distintos de cero para las integrales bielectrónicas entre todos los estados considerados, desde el $1s$ al $8j$, para optimizar la ejecución de los algoritmos de HF y CISD.

Apéndice C

Algoritmo de Lanczos para diagonalizar matrices simétricas

El algoritmo de Lanczos es un algoritmo iterativo que resulta de una adaptación del método de potencias para hallar autovalores y autovectores de una matriz simétrica. Es particularmente útil para diagonalizar matrices dispersas (con muchos elementos nulos) de dimensión grande.

A continuación veremos algo de teoría sobre el problema simétrico de autovalores que utilizaremos luego para la construcción del algoritmo de Lanczos.

C.0.1. Algoritmo de Rayleigh-Ritz

El método de Lanczos se basa a su vez en el algoritmo de Rayleigh-Ritz para hallar una aproximación al autovalor mínimo $\lambda_1[A]$ y al máximo $\lambda_n[A]$ de una matriz A .

Primeramente enunciemos dos teoremas:

Teorema C.1 (*Teorema del Coeficiente de Rayleigh*) Sea A una matriz simétrica $n \times n$, con autovalores en orden ascendente $\lambda_1[A] \geq \dots \geq \lambda_n[A]$ y autovectores $\mathbf{q}_1, \dots, \mathbf{q}_n$, donde $A\mathbf{q}_i = \lambda_i\mathbf{q}_i \forall 1 < i < n$. Sea \mathbf{x} un vector arbitrario tal que $\mathbf{x} \in \mathcal{R}^n$ y sea el coeficiente de Rayleigh $\rho(\mathbf{x}; A) = \frac{\mathbf{x}^T A \mathbf{x}}{\mathbf{x}^T \mathbf{x}}$, entonces:

$$\min_{\mathbf{x} \in \mathcal{R}^n} \rho(\mathbf{x}; A) = \rho(\mathbf{q}_1; A) = \lambda_1[A] \quad (\text{C.1})$$

$$\max_{\mathbf{x} \in \mathcal{R}^n} \rho(\mathbf{x}; A) = \rho(\mathbf{q}_n; A) = \lambda_n[A] \quad (\text{C.2})$$

Demostración C.1:

Sea el vector unitario $\mathbf{u} = \frac{\mathbf{x}}{\|\mathbf{x}\|}$ tal que $\|\mathbf{u}\| = 1$, si se parte de la definición del coeficiente de Rayleigh, y se tiene en cuenta que $\mathbf{x}^T \cdot \mathbf{x} = \|\mathbf{x}\|^2$, se puede obtener:

$$\begin{aligned} \rho(\mathbf{x}; A) &= \frac{\mathbf{x}^T A \mathbf{x}}{\mathbf{x}^T \mathbf{x}} \\ &= \frac{\mathbf{x}^T A \mathbf{x}}{\|\mathbf{x}\|^2} \\ &= \mathbf{u}^T A \mathbf{u} \end{aligned} \tag{C.3}$$

Ahora bien, hallemos el mínimo de la función de varias variables $\rho(\mathbf{x}; A)$. Usando (C.3) y considerando la restricción $\mathbf{u}^T \cdot \mathbf{u} = \|\mathbf{u}\|^2 = 1$ se puede plantear el problema de extremos condicionados para el funcional:

$$\mathfrak{L}(\mathbf{u}) = \mathbf{u}^T A \mathbf{u} - \lambda(\mathbf{u}^T \cdot \mathbf{u} - 1) \tag{C.4}$$

Utilizando el convenio de Einstein para índices de sumación, se puede escribir:

$$\mathfrak{L}(\mathbf{u}) = u_i a_{ij} u_j - \lambda(u_i u_i - 1) \tag{C.5}$$

donde $\mathbf{u} = \|u_i\|_n$ y $A = \|a_{ij}\|_{n \times n}$.

De manera que el problema de extremos condicionados, haciendo un poco de álgebra,

$$\begin{aligned} \frac{\partial \mathfrak{L}(\mathbf{u})}{\partial u_k} &= u_i a_{ij} u_j - \lambda(u_i u_i - 1) \\ &= a_{kj} u_j + u_i a_{ik} - 2\lambda u_k \\ &= a_{kj} u_j + a_{ik} u_i - 2\lambda u_k \\ &= a_{kj} u_j + a_{ki} u_i - 2\lambda u_k; (a_{ki} = a_{ik}) \\ &= a_{ij} u_j + a_{ij} u_j - 2\lambda u_j; (i \geq j, k \geq i) \\ &= 2a_{ij} u_j - 2\lambda u_j \end{aligned} \tag{C.6}$$

se reduce a:

$$2a_{ij} u_j - 2\lambda u_j = 0 \tag{C.7}$$

ó:

$$\begin{aligned} 2A\mathbf{u} - 2\lambda\mathbf{u} &= \mathbf{0} \\ \Rightarrow A\mathbf{u} &= \lambda\mathbf{u} \end{aligned} \quad (\text{C.8})$$

Por tanto, los vectores \mathbf{u} que representan los puntos estacionarios de $\rho(\mathbf{x}; A)$ son los autovectores normalizados de A , o sea $\mathbf{u}_i = \mathbf{q}_i / \|\mathbf{q}_i\|$, $\forall_{1 < i < n}$. O sea que:

$$\rho(\mathbf{x}; A) = \mathbf{u}^T A\mathbf{u} = \lambda\mathbf{u}^T \mathbf{u} = \lambda \quad (\text{C.9})$$

De manera que, los valores de $\rho(\mathbf{x}; A)$ en los puntos estacionarios \mathbf{u} , son los autovalores λ de A . Finalmente, se sigue que:

$$\min_{\mathbf{x} \in \mathcal{R}^n} \rho(\mathbf{x}; A) = \min_{\lambda \in \{\lambda_i; 1 < i < n\}} \lambda \equiv \lambda_1[A] \quad (\text{C.10})$$

$$\max_{\mathbf{x} \in \mathcal{R}^n} \rho(\mathbf{x}; A) = \max_{\lambda \in \{\lambda_i; 1 < i < n\}} \lambda \equiv \lambda_n[A] \quad (\text{C.11})$$

Que es lo que se quería demostrar. ■

Teorema C.2 (*Teorema de Rayleigh-Ritz*) Sea A una matriz simétrica $n \times n$, con autovalores en orden ascendente $\lambda_1[A] \geq \dots \geq \lambda_n[A]$. Sea $\{q_1, \dots, q_m\}$, con $q_i \in \mathcal{R}^n \forall_{1 < i < m}$, una base ortonormal en el subespacio $\mathcal{R}^m (m < n) \subset \mathcal{R}^n$, de manera que cualquier vector \mathbf{x} tal que $\mathbf{x} \in \mathcal{R}^m$ pueda ser expresado como combinación lineal de los vectores $\{q_1, \dots, q_m\}$:

$$\mathbf{x} = z_1 \mathbf{q}_1 + \dots + z_m \mathbf{q}_m$$

ó:

$$\begin{bmatrix} x_1 \\ \vdots \\ x_n \end{bmatrix} = \begin{bmatrix} \mathbf{q}_1 & \dots & \mathbf{q}_m \end{bmatrix} \begin{bmatrix} z_1 \\ \vdots \\ z_m \end{bmatrix} \quad (\text{C.12})$$

Entonces la mejor aproximación para $\lambda_1[A]$ y $\lambda_n[A]$ se obtiene de diagonalizar $H = Q^T A Q$, y está dada por $\lambda_1[H]$ y $\lambda_n[H]$, respectivamente.

Demostración C.2:

Si se emplea la expresión (C.16) y se tiene en cuenta que Q es ortogonal ($Q^T Q = I$, donde I es la matriz identidad) se puede expresar el coeficiente de Rayleigh como:

$$\begin{aligned}\rho(\mathbf{x}; A) &= \frac{\mathbf{x}^T A \mathbf{x}}{\mathbf{x}^T \mathbf{x}} \\ &= \frac{\mathbf{z}^T Q^T A Q \mathbf{z}}{\mathbf{z}^T Q^T Q \mathbf{z}} \\ &= \frac{\mathbf{z}^T H \mathbf{z}}{\mathbf{z}^T \mathbf{z}}\end{aligned}\tag{C.13}$$

De manera que $\rho(\mathbf{x}; A) = \rho(\mathbf{z}; H)$; por tanto, el mínimo (máximo) del coeficiente de Rayleigh para A será también el mínimo (máximo) del coeficiente de Rayleigh para H , que es justamente $\lambda_1[H]$ ($\lambda_n[H]$), según el Teorema C.1. Finalmente, se tiene que $\lambda_1[A] = \lambda_1[H]$ y $\lambda_n[A] = \lambda_n[H]$. Queda demostrado. ■

A partir de este último teorema se construye el algoritmo de Rayleigh-Ritz para hallar los autovalores máximo y mínimo de una matriz simétrica, además de los correspondientes autovectores. La idea fundamental es construir una matriz $H = Q^T A Q$ que sea mucho más fácil de diagonalizar que A y cuyos autovalores máximo y mínimo coincidan. A continuación se detallan los pasos del algoritmo:

1. Se propone un conjunto de m vectores arbitrarios $S = [s_1, \dots, s_m]$ tales que $s_j \in \mathcal{R}^n$ y se aplica la ortonormalización de Gram-Schmidt para obtener un conjunto de vectores ortonormales $Q = [q_1, \dots, q_m]$.
2. Se construye la matriz $H = Q^T A Q$.
3. Se diagonaliza H y se obtienen $\lambda_1[H], \dots, \lambda_m[H]$, tales que $H \mathbf{g}_k = \lambda_k[H] \mathbf{g}_k$, $k = 1, \dots, m$.
4. La mejor aproximación para los autovalores $\lambda_1[A]$ y $\lambda_n[A]$ está dada por $\lambda_1[H]$ y $\lambda_n[H]$, con los correspondientes autovectores $y_k = Q \mathbf{g}_k$.

C.0.2. Algoritmo de Lanczos

El algoritmo de Lanczos usa implícitamente el algoritmo de Rayleigh-Ritz, o sea propone una forma iterativa de hallar la matriz de vectores ortogonales

Q tales que H sea tridiagonal. Existen algoritmos sencillos para diagonalizar matrices tridiagonales simétricas de manera que obtener una matriz H en esta forma es muy ventajoso computacionalmente.

A continuación veremos un teorema que permitirá entender los pasos del algoritmo de Lanczos:

Teorema C.3 *Sea A una matriz simétrica $n \times n$. Sea $Q_m = [\mathbf{q}_1, \dots, \mathbf{q}_m]$ la base ortonormal obtenida por el método de Gram-Schmidt:*

$$\begin{aligned} \mathbf{q}_1 &= \mathbf{s}_1 / \|\mathbf{s}_1\| \\ \mathbf{q}'_i &= \mathbf{s}_i - \sum_{k=1}^{i-1} \mathbf{q}_k (\mathbf{q}_k \cdot \mathbf{s}_i) \\ \mathbf{q}_i &= \mathbf{q}'_i / \|\mathbf{q}'_i\| \quad ; \quad \forall_{2 < i < m} \end{aligned} \quad (\text{C.14})$$

donde \mathbf{s}_1 es un vector arbitrario tal que $\mathbf{s}_1 \in \mathcal{R}^n$ y $\mathbf{s}_i = A\mathbf{q}_{i-1} \quad \forall_{2 < i < m}$. Entonces $T_m = Q_m^T A Q_m$ es una matriz tridiagonal.

Demostración C.3:

Veamos algunos detalles de la ortonormalización de Gram-Schmidt. Primeramente, por la construcción del método se tiene que $\mathbf{q}_i \cdot \mathbf{q}_j = 0 \quad \forall, i \neq j$. Tomando $j > i$ y utilizando (C.14) se puede obtener:

$$\begin{aligned} \mathbf{q}_i \cdot \mathbf{q}_j &= \frac{\mathbf{s}_i \cdot \mathbf{q}_j - \sum_{k=1}^{i-1} (\mathbf{q}_k \cdot \mathbf{q}_j)(\mathbf{q}_k \cdot \mathbf{s}_i)}{\|\mathbf{q}'_i\|} \equiv 0 \\ &= \frac{\mathbf{s}_i \cdot \mathbf{q}_j}{\|\mathbf{q}'_i\|} = 0 \end{aligned} \quad (\text{C.15})$$

Nótese que, como por construcción $\mathbf{q}_k \cdot \mathbf{q}_j = 0 \quad \forall k \neq j$, y como $1 < k < i - 1$ y $j > i$, el segundo término en (C.15) es exactamente nulo y, por tanto, $\mathbf{s}_i \cdot \mathbf{q}_j = 0$.

Ahora bien, en el caso concreto del Teorema C.3 se tiene que $\mathbf{s}_{j+1} = A\mathbf{q}_j$, de manera que, según (C.15), si $i > j + 1$ se cumple que $\mathbf{q}_i \cdot (A\mathbf{q}_j) \equiv \mathbf{q}_i^T (A\mathbf{q}_j) = 0$. Además, como A es simétrica ($A = A^T$) se tiene que $\mathbf{q}_j^T (A\mathbf{q}_i) = (\mathbf{q}_i^T (A^T \mathbf{q}_j))^T = \mathbf{q}_i^T (A^T \mathbf{q}_j) = \mathbf{q}_i^T (A\mathbf{q}_j) = 0$; por tanto, $\mathbf{q}_i^T (A\mathbf{q}_j) = 0$ para $i > j + 1$ y para $i < j - 1$. Finalmente, se obtiene que los elementos de la matriz $T_m = Q_m^T A Q_m$, que explícitamente se escriben como $\mathbf{q}_i^T (A\mathbf{q}_j)$, son

nulos para $i > j + 1$ y para $i < j - 1$, donde i es el índice de las filas y j el de las columnas. De manera que la matriz T_m tiene forma tridiagonal:

$$T_m = \begin{bmatrix} \alpha_1 & \beta_1 & & & & \\ \beta_1 & \alpha_2 & \beta_2 & & & \\ & \ddots & \ddots & \ddots & & \\ & & \beta_{m-2} & \alpha_{m-2} & \beta_{m-1} & \\ & & & \beta_{m-1} & \alpha_m & \end{bmatrix} \quad (\text{C.16})$$

donde:

$$\begin{cases} \alpha_i = \mathbf{q}_i^T(A\mathbf{q}_i) & i = 1, \dots, m \\ \beta_i = \mathbf{q}_{i+1}^T(A\mathbf{q}_i) & i = 1, \dots, m-1 \end{cases}$$

Queda demostrado. ■

Dado que la matriz T_m es tridiagonal (Teorema C.3), i.e. $\mathbf{q}_i^T(A\mathbf{q}_j) = 0$ para $i > j + 1$ y para $i < j - 1$, resulta que $A\mathbf{q}_j$ es una combinación lineal de los vectores \mathbf{q}_{j-1} , \mathbf{q}_j y \mathbf{q}_{j+1} , o sea:

$$A\mathbf{q}_i = \beta_{i-1}\mathbf{q}_{i-1} + \alpha_i\mathbf{q}_i + \beta_i\mathbf{q}_{i+1} \quad (2 \leq i \leq m-1) \quad (\text{C.17})$$

Si definimos $\mathbf{q}_0 = 0$ la ecuación anterior también es válida para $i = 1$.

Ahora bien, si $r_i = \beta_i\mathbf{q}_{i+1}$ (r_i es una componente de $A\mathbf{q}_i$ ortogonal a \mathbf{q}_j para $j \leq i$), entonces de (C.17):

$$r_i = A\mathbf{q}_i - \beta_{i-1}\mathbf{q}_{i-1} - \alpha_i\mathbf{q}_i \quad (2 \leq i \leq m-1) \quad (\text{C.18})$$

Empleando la expresión (C.18) se puede construir el Algoritmo de Lanczos (C.0.2).

Como puede verse, este algoritmo consiste en construir la matriz tridiagonal T_m que será luego diagonalizada de manera exacta. Primeramente, se escoge un vector unitario aleatorio, luego se aplica la matriz simétrica A que se quiera diagonalizar y se crea un nuevo vector que será ortonormalizado con el inicial por el proceso de Gram-Schmidt. Aplicando la matriz al vector unitario ortonormal al inicial, se crea otro vector que deberá ortonormalizarse con respecto a los dos anteriores; así sucesivamente, aplicando reiteradamente la matriz A , se construyen los demás vectores mediante un esquema que reproduce la expresión (C.17). Este procedimiento permite obtener, en la iteración m -ésima, los valores de $\{\alpha_i\}$ y $\{\beta_i\}$ y construir la matriz T_m . Una vez que esta matriz se diagonalice, se comprueba si existe convergencia para los

Algoritmo 1 Algoritmo de Lanczos

 $\mathbf{r}_0 = \text{Random}(\mathbf{x}; \mathbf{x} \in \mathcal{R}^n)$
 $\beta_0 = \|\mathbf{r}_0\|$
 $\mathbf{q}_0 = \mathbf{0}$
 $i = 0$
while $(|(\lambda_1^a - \lambda_1^{a-1})/\lambda_1^{a-1}| \geq \Delta \text{ or } |(\lambda_n^a - \lambda_n^{a-1})/\lambda_n^{a-1}| \geq \Delta)$ **do**
 $i \leftarrow i + 1$
 $\mathbf{q}_i \leftarrow r_{i-1}/\beta_{i-1}$
 $\mathbf{r}_i \leftarrow A\mathbf{q}_i - \beta_{i-1}\mathbf{q}_{i-1}$
 $\alpha_i \leftarrow \mathbf{q}_i^T \mathbf{r}_i$
 $\mathbf{r}_i \leftarrow \mathbf{r}_i - \alpha_i \mathbf{q}_i$
 $\beta_i = \|\mathbf{r}_i\|$

 Construir la matriz T_{i+1} a partir de $\{\alpha_i\}$ y $\{\beta_i\}$.

 Diagonalizar T_{i+1} . Hallar autovalores $(\lambda_1[T_{i+1}] \text{ y } \lambda_n[T_{i+1}])$ y autovectores

 $(\mathbf{v}_1[T_{i+1}] \text{ y } \mathbf{v}_n[T_{i+1}])$.

 $\lambda_1^i \leftarrow \lambda_1[T_{i+1}]$
 $\mathbf{v}_1^i \leftarrow \mathbf{v}_1[T_{i+1}]$
 $\lambda_n^i \leftarrow \lambda_n[T_{i+1}]$
 $\mathbf{v}_n^i \leftarrow \mathbf{v}_n[T_{i+1}]$
end while
 $\lambda_1 \leftarrow \lambda_1^i$
 $\mathbf{v}_1 \leftarrow \mathbf{v}_1^i$
 $\lambda_n \leftarrow \lambda_n^i$
 $\mathbf{v}_n \leftarrow \mathbf{v}_n^i$

autovalores (i.e. $|(\lambda_1^a - \lambda_1^{a-1})/\lambda_1^{a-1}| \leq \Delta$ y $|(\lambda_n^a - \lambda_n^{a-1})/\lambda_n^{a-1}| \leq \Delta$). Si han convergido, $\lambda_1[T_m]$ y $\lambda_n[T_m]$ son las mejores aproximaciones a los autovalores $\lambda_1[A]$ y $\lambda_n[A]$, respectivamente. Si no, se aumenta la dimensión m de la matriz, o sea se calculan más vectores \mathbf{q}_i con $i > m$ que transformen A en una matriz tridiagonal T_m , hasta que se obtenga convergencia.

C.0.3. Estabilidad numérica del algoritmo de Lanczos

Hemos probado que con aritmética *exacta*, los vectores $\{q_i\}$, construidos en el algoritmo de Lanczos, son una base ortonormal, y los autovalores y autovectores de H son buenas aproximaciones a los autovalores y autovectores de la matriz original A . Sin embargo, en la práctica, mientras el cálculo se ejecuta en aritmética de punto flotante, donde la inexactitud es inevitable, la ortogonalidad se pierde rápidamente y en algunos casos el siguiente vector calculado es incluso linealmente dependiente de los anteriores. Como resultado, algunos de los autovalores de la matriz tridiagonal resultante pueden no ser aproximaciones de los autovalores de la matriz inicial. Por tanto, el algoritmo de Lanczos no es muy estable.

Los usuarios de este algoritmo deben ser capaces de encontrar y eliminar los autovalores espurios. Para ello las implementaciones prácticas del algoritmo de Lanczos se dedican a:

- Evitar la pérdida de la ortogonalidad.
- Reortogonalizar después de generada la base.
- Identificar todos los autovalores espurios y eliminarlos.

Como conservar la ortogonalidad de un número grande vectores es intratable, se suele mantener la cantidad de vectores acotada y si no se tiene convergencia de los autovalores para el valor máximo iteraciones entonces existe la posibilidad de reiniciar el algoritmo y escoger un vector inicial diferente. Una de las variantes del algoritmo de Lanczos es el reinicio implícito (*implicitly restarted Lanczos algorithm*), que consiste en crear el vector inicial usando la información de la matriz tridiagonal de la iteración anterior.

Bibliografía

- [1] Kleppner, D., “A short history of atomic physics in the twentieth century”, *Rev. Mod. Phys.*, vol. 71, pp. S78-S84, 1999.
- [2] Brummelhuis, R., Ruskai M.B., “A One-Dimensional Model for Many-Electron Atoms in Extremely Strong Magnetic Fields: Maximum Negative Ionization”, *J. Phys. A: Math. Gen.*, vol. 32, pp. 2567-2590, 1999.
- [3] Seiringer, R., “On the maximal ionization of atoms in strong magnetic fields”, eprint arXiv:atom-ph/0006002v1, 2000.
- [4] Stefanovich, E.V., Boldyrev, A.I., Truong, T.N., Simmons, J., “Ab Initio Study of Stabilization of Multiply Charged Anions In Water”, *J. Phys. Chem. B*, vol. 102, pp. 4205-4208, 1998.
- [5] Turbiner, A.V., Medel Cobaxin, H., “Critical charges of simple Coulomb molecular systems: One-two electron case”, eprint arXiv:quant-ph/1102.4493v1, 2008.
- [6] Lieb, E.H., “Bound on the Maximum Negative Ionization of Atoms and Molecules”, *Phys. Rev. A*, vol. 29, pp. 3018-3028, 1984.
- [7] Serra, P., Kais, S., “Critical phenomena for Electronic Structure at the Large-Dimension Limit”, *Phys. Rev. Lett.*, vol. 77, (3), pp. 466-469, 1996.
- [8] Serra, P., Kais, S., “Phase transitions for N-electron atoms at large-dimension limit”, *Phys. Rev. Lett.*, vol. 55, (1), pp. 238-247, 1996.
- [9] Serra, P., Neirotti, J.P., Kais, S., “Electronic Structure Critical Parameters For the Lithium Isoelectronic Series”, *Phys. Rev. Lett.*, vol. 80, (24), pp. 5293-5296, 1998.

- [10] Kais, S., Neirotti, J.P., Serra, P., “Phase transitions and the stability of atomic ions”, *Int. J. Mass Spectrometry*, vol. 182/183, pp. 23-29, 1999.
- [11] Sergeev, A.V., Kais, S., “Critical nuclear charges for N-electron Atoms”, *Int. J. Quantum Chem.*, vol. 75(3), pp. 533-542, 1999.
- [12] Serra, P., Kais, S., Neirotti, J.P., “Finite-size scaling method for the stability of atomic and molecular ions”, *Physica A*, vol. 283, pp. 65-73, 2000.
- [13] Kais, S., Serra, P., “Quantum critical phenomena and stability of atomic and molecular ions”, *Int. Rev. Phys. Chem.*, vol. 19(1), pp. 97-121, 2000.
- [14] Wei, Q., Kais, S., Moiseyev, N., “New stable multiply charged negative atomic ions in linearly polarized superintense laser fields”, *J. Chem. Phys.*, vol. 124, pp. 201108-1 - 201108-4, 2006.
- [15] Gridnev, D.K., Garcia, M.E., “Rigorous conditions for the existence of bound states at the threshold in the two particle case”, eprint arXiv:math-ph/0610038v2, 2006.
- [16] Gridnev, D.K., “Bound states at the Threshold. Many-particle case.”, eprint arXiv:math-ph/0610058v2, 2008.
- [17] Gridnev, D.K., “Bound States at Threshold in Systems with Coulomb Repulsion”, eprint arXiv:math-ph/0611075v2, 2008.
- [18] Pegg, D.J., Thompson, J.S., Compton, R.N., Alton, G.D, “The Structure of the Stable Negative Ion of Calcium”, *Phys. Rev. Lett.*, vol. 59, 2267, 1987.
- [19] Chang, K.H., McKeown, R.D., Milner, R.G., Labrenz, J., “Search for long-lived doubly charged negative atomic ions”, *Phys. Rev. A*, vol. 35(9), 3949-3951, 1987.
- [20] Dreuw, A., Cederbaum, L.S., “Multiply Charged Anions in the Gas Phase”, *Chem. Rev.*, vol. 102, pp. 181-200, 2002.
- [21] Boldyrev, A.I., Simons, J., “Theoretical search for small doubly charged anions”, *J. Chem. Phys.*, vol. 98 (6), pp. 4745-4752, 1993.

- [22] Bezchastnov, V.G., Schmelcher, P., Cederbaum, L.S., “Bound states of negatively charged ions induced by magnetic field”, eprint arXiv:atom-ph/0006016v1, 2000.
- [23] Carcassés, R., González, A., “Thomas-Fermi scaling in the energy spectra of atomic ions”, Phys. Rev. A, vol. 80, pp. 024502-1 - 024502-3, 2009.
- [24] Alonso, M., “Sistema Periódico de los Elementos” en Física Atómica I, Alonso, M.. La Habana: Publicaciones Cultural S.A., 1958, cap. Estructura Atómica. Teoría General, pp. 321-327.
- [25] Richtmyer, F.K., Kennard, E.H., Lauritsen, T., “General Features of the Periodic Table” en Introduction to Modern Physics, Richtmyer, F.K., Kennard, E.H., Lauritsen, T.. La Habana: Edición Revolucionaria, 1967, cap. The Periodic Table of Elements, pp. 228-231.
- [26] Davydov, A.S., “Confluent Hypergeometric Functions; Bessel Functions” en Quantum Mechanics, Davydov, A.S.. La Habana: Edición Revolucionaria, 1965, cap. Mathematical Appendices, pp. 664-670.
- [27] Bransden, B.H., Joachain, C.J., “Many-electron atoms” en Physics of atoms and molecule, Bransden, B.H., Joachain, C.J., Hong Kong: Longman Scientific & Technical, 1983, cap 7., pp. 290-352.
- [28] Staemmler, V., “Introduction to Hartree-Fock and CI methods”, Computational Nanoscience, vol. 31, pp. 1-18, 2006.
- [29] Echenique, P., Alonso, J. L., “A mathematical and computational review of Hartree-Fock SCF methods in Quantum Chemistry”, eprint arXiv:physics.chem-ph/0705.0337v3, 2007.
- [30] Kohanoff, J., “The Hartree-Fock approximation” y “Post Hartree-Fock methods” en Electronic Structure Calculation for Solids and Molecules: Theory and Computational Methods, Kohanoff, J., Cambridge University Press, 2006, cap. Quantum Many-body theory: chemical approach, pp. 37-39.
- [31] Szabo, A., Ostlund, N.S., “Interpretation of solutions of Hartree-Fock equations” en Modern Quantum Chemistry. Introduction to Advanced Electronic Structure Theory, Szabo, A., Ostlund, N.S., New York, Dover

- Publications, Inc., 1996, cap. The Hartree Fock Aproximation, pp. 123-129.
- [32] Loos, P.F., Gill, P.M.W., “A Tale of Two Electrons: A Correlation at High Density”, eprint arXiv:physics.chem-ph/1008.2252v2, 2010.
- [33] Gyorffy, W., “Monte Carlo Configuration Interaction Method for Calculation of Electronic Spectra of Molecules” Tesis de doctorado. Dept. of Chemistry. University College Cork, Ireland, 2007.
- [34] Meller, J., “New computational algorithms based on the Configuration Interaction method” Tesis de doctorado. Department of Computer Methods, Faculty of Physics and Astronomy, Nicholas Copernicus University in Torun, Poland, 1996.
- [35] Sasaki, F., Yoshimine, M., “Configuration-interaction study of atoms. Correlation energies of B, C, N, O, F and Ne”, Phys. Rev. A, 9 (1), pp. 17-25, 1974.
- [36] Odriazola, A., Delgado, A., González, A., “Universality in the energy spectrum of medium-sized quantum dots”, Phys. Rev. B, 78, pp. 205320-1 - 205320-6, 2008.
- [37] Delgado, A., Odriazola, A., González, A., “QDOTLIB: A module library for electronic calculations in Quantum Dots”, (Trabajo en preparación para Computer Physics Communications).